

**Х. НУРИДДИНОВ,
Ж.Ж.КУЧКАРОВ**

**РАСЧЕТ КОМБИНИРОВАННОЙ
ГЕЛИОСУШИЛЬНОЙ УСТАНОВКИ ДЛЯ
СУШКИ ПЛОДОВО - ОВОШНОЙ
ПРОДУКЦИИ.**

Бухара -2022

**МИНИСТЕРСТВО ВЫШЕГО И СРЕДНЕГО
СПЕЦИАЛЬНОГО ОБРАЗОВАНИЯ РЕСПУБЛИКИ
УЗБЕКИСТАН**

**БУХАРСКИЙ ИНСТИТУТ УПРАВЛЕНИЯ
ПРИРОДНЫМИ РЕСУРСАМИ НАЦИОНАЛЬНОГО
ИССЛЕДОВАТЕЛЬСКОГО УНИВЕРСИТЕТА
ТАШКЕНТСКОГО ИНСТИТУТА ИНЖЕНЕРОВ
ИРРИГАЦИИ И МЕХАНИЗАЦИИ СЕЛЬСКОГО
ХОЗЯЙСТВА**

**Х. НУРИДДИНОВ,
Ж.Ж.КУЧКАРОВ**

**Расчёт комбинированной гелиосушильной установки для
сушки
плодово - овощной прадукции.**

Бухара -2022

В монографии приведены результаты теоретических и экспериментальных исследований по изысканию оптимальной вариант сушки плодо – овощной продукции. Проводится исследование особенностей протекания процесса сушки и параметров процесса в начальном, первом и втором периодах сушки.

Для научных работников, аспирантов и преподавателей.

УДК 632.096

Ответственный редактор:

Кандидат технических наук М.Р.Назаров

Рецензенты:

Кандидат технических наук Н.Ф.Уринов

Доктор педагогических наук Х.О.Жураев

ВВЕДЕНИЕ

Переработка плода - овощной продукции, в частности, сушка, позволяет не только сохранять их питательные качества и возможность круглогодичного потребления, но и существенно снижать потери продукции при их производства, хранении и перевозке [1.2]

В Республиках Средней Азии производят почти весь объем кишмиша и более половины сухофруктов из общего их количества по СНГ [3]

В связи с мерами по дальнейшему развитию производства плодовоовощной продукции значительно возрастает и производство сухофруктов и в первую очередь кишмиша. Для резкого увлечения производства сухофруктов важное значение имеет не только развитие сырьевой базы, но и разработка и применение новых, более эффективных способов и установок для сушки плодово - виноградной продукции.

Наиболее распространенным способом сушки в южных районах СНГ является способ воздушно – солнечной сушки. Недостатком этого способа является зависимость от метеорологических условий, снижение качества в связи с длительностью процесса сушки и необходимость дополнительной заводской обработки из-за загрязнения и запыления в процессе сушки. Воздушно – солнечная сушка требует достаточно больших площадей.

РАСЧЕТНО – ЭКСПЕРИМЕНТАЛЬНОЕ ИССЛЕДОВАНИЕ ПРОЦЕССА СУШКИ ПЛОДОВ И ВИНОГРАДА

1.1. Расчетно – экспериментальное исследование процесса сушки плодов и винограда

Первый период сушки характеризуется постоянством температуры материала или постоянной скоростью сушки.

Основным технологическими задачами, которые необходимо решать здесь является обеспечение оптимальности процесса с точки зрения обеспечения минимального времени сушки при минимальных

энергетических затратах. Расчетное решение задачи в общем достаточно сложно и требует в принципе знаний всех теплофизических свойств материала, зависимости их от времени. В то же время, как видно из проведенного обзора литературы, при сушки плодов и овощей на практике имеются ограничения по температуре нагрева, влажности воздуха и расходу энергии.

Отсюда следует, что ограничены и возможности оптимизации режимов сушки. Т.е. оптимизация процессов сушки должна проводиться в пределах изменения параметров, которые достаточно эффективно можно обеспечить на практике в гелиосушилных установках. В связи с этим при рассмотрении процессов сушки на первом этапе будем исходить из режимов сушки, которые имеют место на практике.

Для рассматриваемой нами задачи – разработка комбинированной гелио – тепловой сушилки- это режимы сушки при солнечной сушке и различных ее вариантах с использованием дублера или комбинированной. С целью исследования процесса сушки и решения указанных выше задач была разработана экспериментальная комбинированная солнечно – тепловая сушилка (рис.1), которая включала гелионагреватель, электрокалорифер, сушильную камеру и вентилятор марки ВО10 – У2 с потребляемой мощностью 33 Вт и производительностью 10 м³мин. Мощность электрокалофера могла измениться от 0,2 до 1,6 кВт.

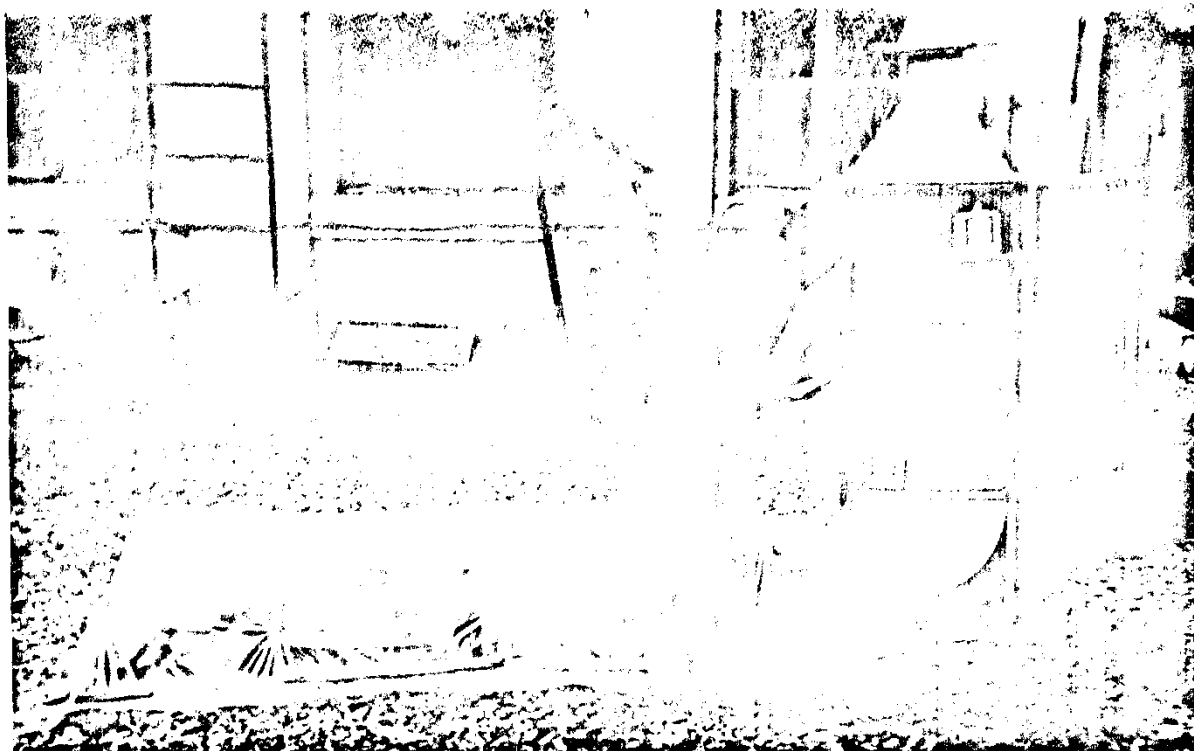


Рис.1 Экспериментальный образец комбинированной гелиосушилки.

На рис .2 приведена кривая сушки в комбинированной сушилке винограда (кишмиш черный) в конце августа месяца обработанного и необработанного. Там же для сравнения показаны кривые сушки винограда на открытой площадке.

На рис. 3 представлены параметры температурно- влажностного режима в сушелке, а также параметры наружного воздуха. На основе результатов расчетов, полученных выше, был выбран следующий режим работы комбинированной сушилki- до 13^{30} шел прогрев камеры за счет естественной конвекции воздуха,нагреваемого в гелионагревателе,далее включался вентилятор в осциллирующем режиме с периодом 30 мин до 19^{00} ,с 19^{00} включался электрокалорифер с $P = 0,8$ кВт и вентилятор начинал работать непрерывно.

Для определения и следования скорости сушки необходимо представить указанные выше кривые изменения массы продукта в единицах ,отнесенных

к площади поверхности продукта и времени, а также действительные скорости обтекания продукта воздухом

В связи с этим рассмотрим объёмные и аэродинамические характеристики в слое продукта.

1.1.1. Объёмные и гидродинамические характеристики слоя продукта.

Решение задач оптимизации режима сушки требует знания действительных скоростей сушки продуктов, скоростей движения воздуха в слое продуктов, потерь давления воздуха в слое. Для определения указанных параметров слоя продуктов были проведены расчетно-экспериментальные исследования. Целью исследования являлось определение площади свободного сечения в слое продуктов, скорости движения воздуха и потери давления в слое.

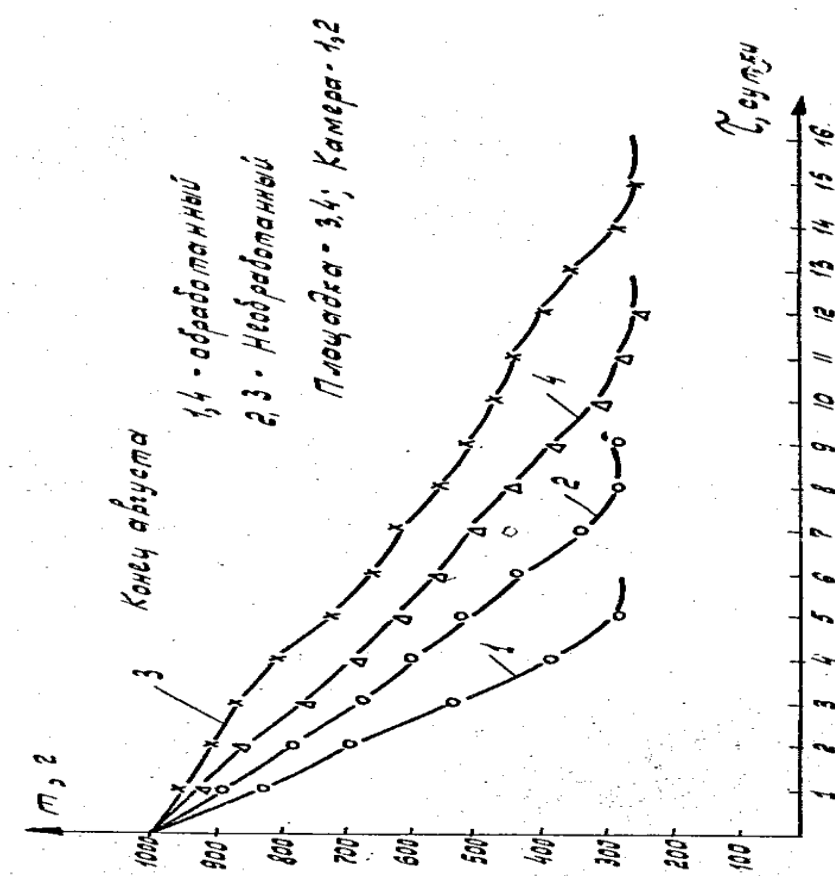
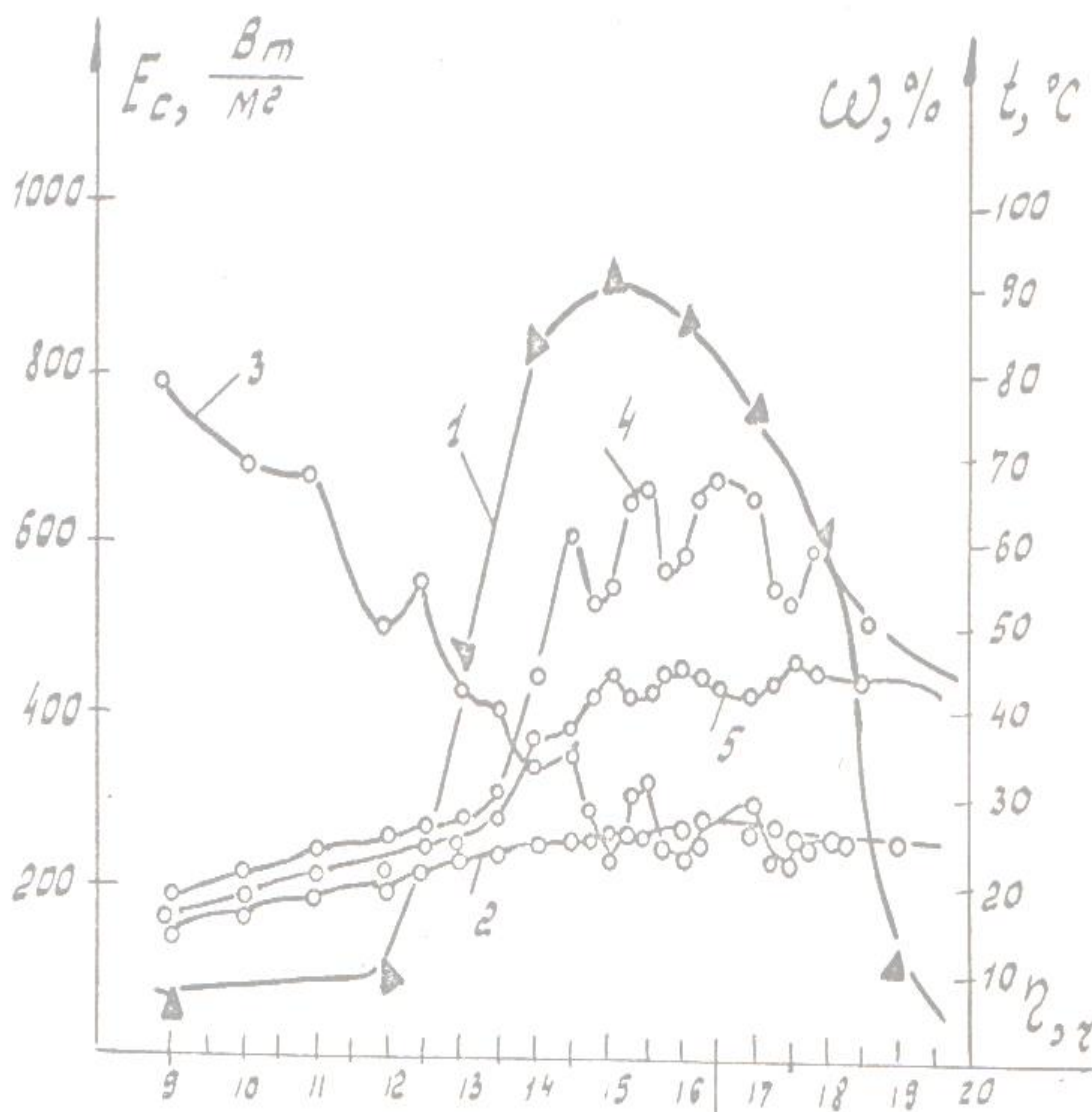


Рис.2 Кинетика сушки винограда кишмиш черный.

Рис.3



Температурно-влажностный режим в гелиосушилке; 1.-солнечная радиация, 2.-температура наружного воздуха, 3-влажность в камере, 4,5-температуры воздуха в воздушнонагревателе и в камере(конец августа).

Указанные характеристики определялись на основе расчетного экспериментального исследования зависимости скорости воздуха ω_k в камере от характеристик слоя продуктов-загрузка и количество полок с продуктами, исследования объемных характеристик продукта. Схема расположения полок с продуктами в камере и их габаритные размеры приведены на рис. 4 а. результаты исследований для винограда сорта шевагани (вес плода $m_B=3...3,7$ гр объем $V_B=1,7...2,9$ см³, средняя плотность $\rho_B=1,5$ г/см³, загрузка на полку -4...4,5 кг) приведены на рис.4 б. На основе этих данных определим площадь сечения S_c в слое продуктов.

Рассмотрим в начале случай, когда в камере загружена продуктом одна полка.

При решении задачи принимаем следующие допущения:

-свободное сечение слоя представляет собой систему гладких параллельных цилиндрических каналов с эффективным диаметром d_k длиной l_k равной толщине слоя продукта;

-характеристика вентилятора давление-расход описывается параболической кривой с показателем степени равным 2:

-реальная форма продуктов заменяется на шаровую с равным объемом и весом;

-местными сопротивления в камере пренебрегаем.

С учетом указанных допущений имеем следующую систему уравнений.

Объемный расход в камере L равен суммарному объемному расходу воздуха в каналах, или

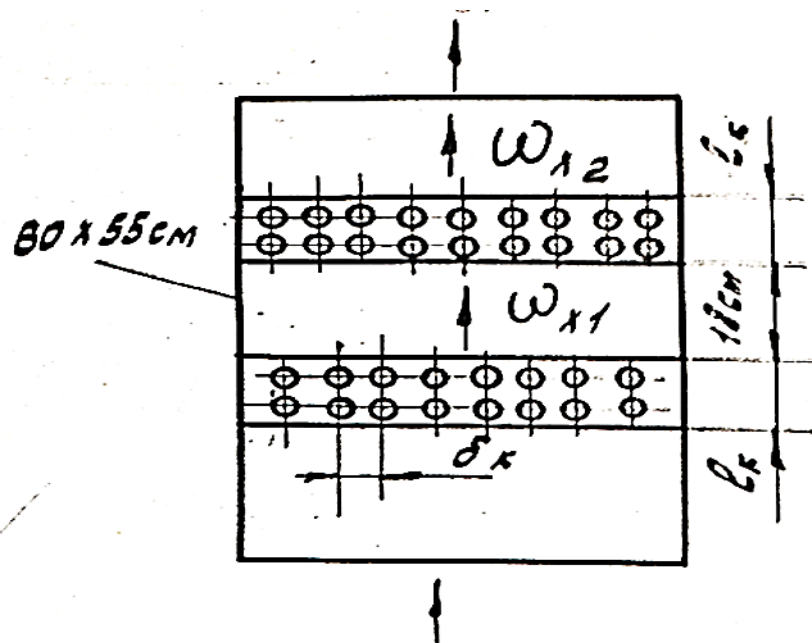


Рис.4а Схема расположения полок

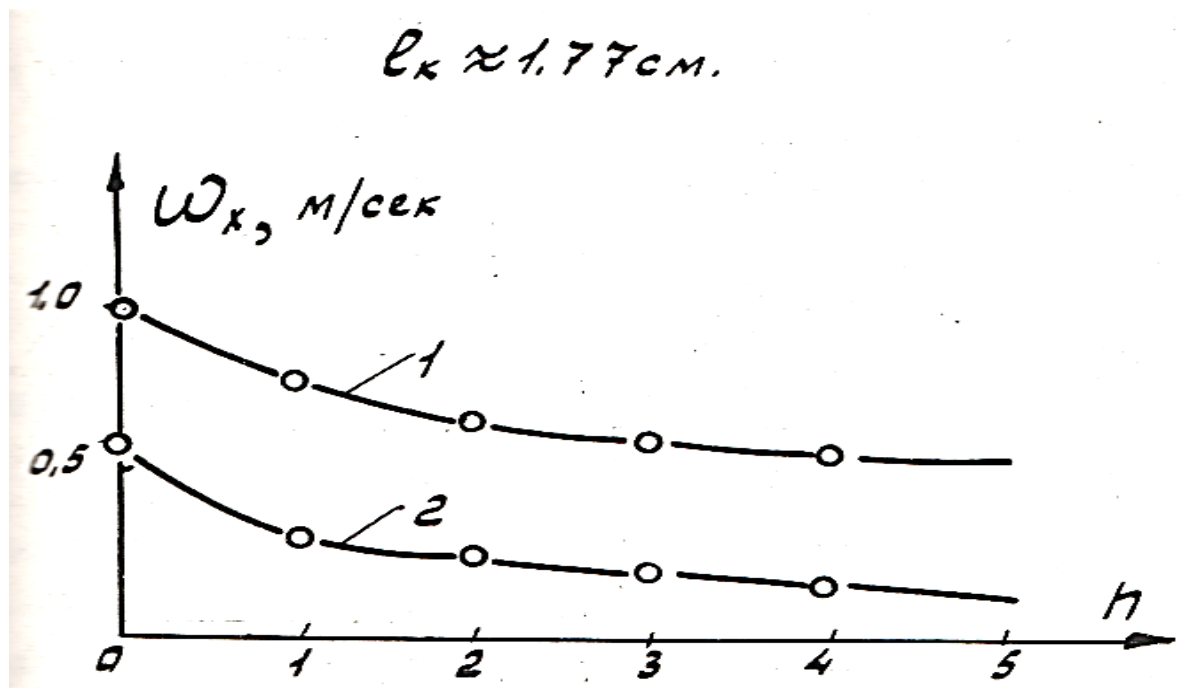


Рис.4 б Зависимость скорости воздуха в камере от числа полок (n) с продуктом ;1-полные и 2- малые обороты вентилятора (тип ВО10-У2,34 Вт)

$$L = \omega \cdot S = \omega_k \cdot S_k \cdot n \quad (1.1)$$

Где ω - скорость воздуха в камере сечении S ем ω - скорость воздуха в отдельном канале сечении S_k , n число каналов в слое.

Потери давления в канале ΔP определяются по формуле[4]

$$\Delta P = \lambda \frac{l_k}{d_k} \cdot \rho \frac{\omega_k^2}{2} \quad (1.2)$$

Где λ — коэффициент сопротивления трения, ρ -плотность воздуха, d_k диаметр канала.

Коэффициент λ -может быть определен по известным формулам, в зависимости от геометрии канала и числе Рейнольдса [5] С учетом принятых выше допущений, можем также записать, что суммарный объем каналов в слое высушиваемого продукта равен

$$V_{K\Sigma} = S_k \cdot l_k \cdot n \quad (1.3)$$

Общее падение давления в слое может быть определено по формуле [7]

$$\Delta P_{\Sigma} = K(L_0^2 - L^2) \quad (1.4)$$

Где K коэффициент кривой вентилятора, L_0 - объем расход воздуха в пустой камере м³/ч, L - объемный расход воздуха загруженной камере

При параллельном соединении каналов падение давление в каждом канале ΔP постоянной равно суммарному падению давления в слое продуктов ΔP_{Σ}

Из характеристик вентилятора ($N=0,034$ кВт, $\eta=0,48$)

измеренного расхода воздуха в пустой камере $L_0=0.33$ м³/с

следует, что начальное давление $P=50$ Па, откуда следует, что коэффициент кривой расхода вентилятора K равен

$$K = \frac{P}{L_0^2} = \frac{50 \text{ Па}}{1188 \text{ м}^2/\text{ч}} = 3,54 \cdot 10^{-5} \text{ Па} \cdot \text{ч}/\text{м}^3$$

Для одного слоя продуктов (см. рис. 4 б) имеем $L \cdot S \cdot \omega 3600 = 926$ м³/ч и из (1.4) следует, что суммарное падение давления воздуха в слое продукта равно

$$\Delta P_{\Sigma} = 3.54 \cdot 10^{-5} (1.41 \cdot 10^6 - 0,857 \cdot 10^6) = 19.1 \text{ Па}$$

Определим теперь свободный объем слоя $V_{\text{к\text{с}}}$. Схема расположения винограда в слое, с учетом принятых выше допущений, представлена на рис.5, где a, b - размеры сечения камеры, l_K высота слоя.

Рассмотрим в начале один слой винограда и определим площадь свободного сечения $S_{\text{к\text{с}}}$. Из рис.12 следует, что свободная площадь сечения $S_{\text{к\text{с}}}$ равна

$$S_{\text{к\text{с}}} = S_{\text{сеч}} - S_{\text{пр}} \quad (1.5)$$

Где $S_{\text{сеч}}$ - полная площадь сечения полки, равная площади сечения камеры $S_{K\Xi} = a \cdot b$, $S_{\text{пр}}$ - площадь сечения полки, занимаемая виноградом.

Из схемы расположения продукта в слое (рис.12) можем записать

$$S_{\text{пр}} = S_r \cdot m_a \cdot m_b \quad (1.6)$$

Где S_r площадь сечения отдельного продукта, равна πr^2 (r - эффективный радиус продукта, $r = \sqrt{3 \cdot V / (4\pi)}$, где V - средний объем одного продукта); m_a , m_b - количество единиц продукта по ширине (a) и (b) камеры. Из определения m

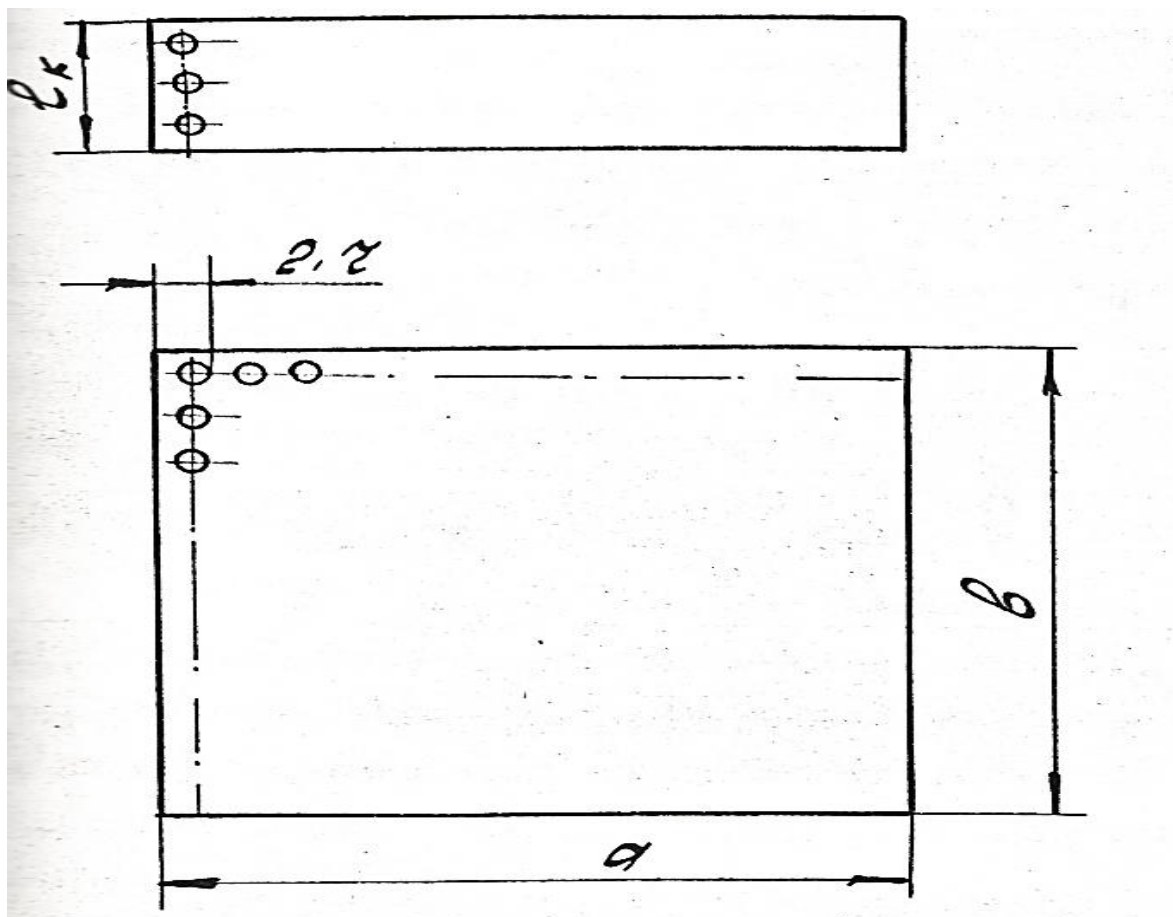


Рис.5 К определению свободного объема в слое продукта.

следует, что $m_a = \frac{a}{2r}, m_b = B/(2r)$.или

$$S_{к\sigma} = a \cdot b - \pi r^2 \cdot \frac{a}{2r} \cdot \frac{B}{2r} = a \cdot b (1 - \frac{\pi}{4}) \quad (1.7)$$

Из (1.8) следует, что площадь свободного сечения слоя не зависимость от абсолютного радиуса плода и составляет 21,5 % от сечения камеры.

Определим теперь объем свободного сечения $V_{к\sigma}$. По аналогии с методикой определения свободного сечения $S_{к\sigma}$ имеем

$$V_{к\sigma} = V_c - V_{пр}$$

Где V_c - полный объем слоя , $V_c = a \cdot b \cdot l$ $V_{пр}$ -объем, занимаемый продуктом в слое.

Учитывая, что $V_{пр} = V_r \cdot m_a \cdot m_b \cdot m_l$ - где $V_c = \frac{4}{3}\pi r^3$ получая

$$V_{к\sigma} = V_c - V_{пр} = a \cdot b \cdot l (1 - \frac{\pi}{6}) \quad (1.8)$$

Из (2,32) следует, что объем, занимаемый продуктом в слое, $V_{пр}$, а следовательно также и свободный объем $V_{к\sigma}$ не зависят от размера отдельного продукта и составляют соответственно 52,3% и 47,6% от полного объема слоя. Зная общий вес продукта и его плотность можем определить объем, занимаемый продуктом

$$V_{пр} = \frac{P_{пр}}{P} = \frac{4500 \text{ г}}{1,5 \text{ г/см}^3} = 3000 \text{ см}^3$$

Эффективная длина (толщина) слоя продуктов , как следует из (1.8) равно

$$l = \frac{V_{пр} \cdot 6}{\pi \cdot a \cdot b} = 1,74 \text{ см}$$

Полный объем слоя $V_{сл}$ равен $a \cdot b \cdot l = 60 \text{ см} \cdot 55 \text{ см} \cdot 1,74 \text{ см} = 5729 \text{ см}^3$ и свободные объем $V_{к\sigma}$ равен

$$V_{к\sigma} = a \cdot b \cdot l (1 - \frac{\pi}{6}) = 5729,5 (1 - 0,4764) = 2729 \text{ см}^3$$

С другой стороны можем записать, что

$$V_{k\Sigma} = S_K \cdot l_K \cdot n \quad (1.9)$$

Из (2,25) и (2,33) можно определить скорость движения воздуха в канале ω_K

$$\omega_K = \frac{\omega \cdot S_k}{V_{K\Sigma}} \cdot l_K \quad (1.10)$$

Анализ показал, что выражение (1.10) более применимо, когда имеем несколько слоев продукта на одной полке. В случае, когда имеем один слой продукта, более правильно находить скорость движения продукта по свободному сечению $S_{K\Sigma}$.

Подставляя в (2.25) значение $S_K \cdot n$ равное $S_{K\Sigma}$. Получаем

$$\omega_k = \frac{\omega \cdot S}{S_{K\Sigma}} = \frac{\omega \cdot a \cdot b}{a \cdot b \left(1 - \frac{\pi}{4}\right)} = \frac{\omega}{\left(1 - \frac{\pi}{4}\right)} \quad (1.11)$$

Из (1.11) следует, что независимо от размеров имеет место постоянство отношения скоростей в камере и канале для случая одного слоя продукта. При $W=0,78$ м/с (один слой) получим

$$\omega_K = 0,78 \cdot 0,215 = 3,63 \text{ м/с.}$$

Из геометрических соотношений мы можем также определить эффективный диаметр канала d_k и число каналов в слое n .

Из рис.5 следует, что общее число каналов в одном слое продукта равно.

$$n = n_1 + n_2 + n_3 + 2((m-1) + (n-1)) + (m-1)(n-1) \quad (1.12)$$

Как следует из рис.5 имеем три типа каналов (n_1, n_2, n_3) площади которых относятся как 1: 2: 4:. При $m, n > 30$ из (1.12) следует, что пренебрежение каналами типа n_1 и n_2 , внесет погрешность не превышающую 1,5-2% таким образом

$$n=(m-1)(n-1) \quad (1.13)$$

$$S_k = \frac{S_{KЭ}}{n} = \frac{a \cdot b (1 - \frac{\pi}{4})}{(m-1)(n-1)} \quad (1.14)$$

Подставляя вместо m и n их значения ($m=a/2r, n=b/2r$) и учитывая, что $S_K = \pi d_K^2/4$ получим

$$d_K \cong d_{пр} \cdot 2 \sqrt{\frac{(1-\pi/4)}{\pi}} = 0.522 \cdot d_{пр} \cdot \sqrt{2} \quad (1.15)$$

Если определять d_K по формуле $d_K = 4S_K/U$ (S_K -площадь и U -премер канала), то

$$d_K = 0.271 \cdot d_{пр}$$

Подставляя в (2.37) и (2.39) значения $d_{пр}=1,6$ см, $\alpha=60$ см

$B=55$ см получим

$$n = (\frac{a}{d_{пр}} - 1)(\frac{B}{d_{пр}} - 1) = 1218$$

Если по формуле $d_{ЭКВ} = \frac{4S_K}{U}$, то $d_{ЭКВ} = 0.271 \cdot d_{пр}$

$$d_K = 0,522 \cdot 1,6 = 0,592 \text{ см}$$

$$d_{KЭ} = 0,271 \cdot 1,6 = 0,434 \text{ см}$$

На основе полученных данных может быть расчетным путем из (1.15) определено падение давления ΔP в слое.

В (1.16) входит коэффициент трения λ , значение которого в зависимости от числе **Re** равно

$$\lambda = 0,3164 / Re^{0.25},$$

$$\text{при } Re > 3 \cdot 10^3 \dots 1 \cdot 10^5$$

$$\lambda = \frac{64}{Re}, \quad \text{при } Re < 3 \cdot 10^3 \quad (1.16)$$

Для полученных значений ω_k и d_k при кинематической влажности воздуха $V=19 \cdot 10^{-6}$ мг/с, число Re равно $Re=0,592 \cdot 10^{-2} \cdot 3,63/19 \cdot 10^{-6}=1131$.

Считая, что свободное сечение состоит из цилиндрических каналов и поставив полученные значения параметров в (1.2) получим

$$\Delta P = \lambda \cdot \frac{l_k}{d_k} \cdot \rho \frac{\omega_k^2}{2} = 1.3 \text{ Па}$$

Для $d_{k\text{э}}$ $\Delta P=2,42 \text{ Па}$

Это существенно отличается от экспериментальных значений отсюда следует, что сопротивление в свободном сечении слоя местные.

В первом приближении, потом воздуха проходит из камеры площадь сечения S , через диафрагму площадь S_g и далее опять через камеру площадью S . Так как в литературе имеются выражения только для отдельной диафрагмы, то будем считать, что площади S и S_g представляют суммарные площади камеры S и свободного сечения ($S_{k\text{э}}$) или учитывая [19] где ξ_M отнесено к скорости воздуха в камере

$$\xi_M = \xi_{cm} \left(\frac{S_{k\text{э}}}{S} \right)^2 + K \left(\frac{S}{S_{k\text{э}}} - 1 \right)^2 \quad (1.17)$$

В первом приближении в (1.17) принимают, что $\xi_{cm} = 0$; $K \approx 1$,

Или учитывая, что $S/S_{k\text{э}} = 1/0,215$

$$\xi_M = \left(\frac{1}{0,215 \cdot 0,616} - 1 \right)^2 \cong 43$$

Падение давления ΔP при местных сопротивлениях в общем случае равно

$$\Delta P = \xi_M \cdot \rho \frac{\omega^2}{2} \quad (1.18)$$

ρ

Подставляя в (2,42) значения $\rho = 1,2 \text{ кг/м}^3$, $\omega = 0,78 \text{ м/с}$

Получим $\Delta P = 15,7 \text{ Па}$ Эта значение ΔP существенно ближе к экспериментальный ($\Delta P_{\text{э}} = 19 \text{ Па}$). Погрешонность обусловлено в основном тем, что в расчете принято, что продукты расположены в один слой.

Определим теперь из условия баланса расхода воздуха в камере и слое (1.1) эффективную скорость движения воздуха в каналах ω_k

$$\omega_k = \frac{\omega \cdot S}{S_k \cdot n} = \frac{0,78 \cdot 3300 \cdot 4}{1218 \cdot 3,14 \cdot 0,592^2} = 3,8 \text{ м/с}$$

$$\text{для } d_{k\text{э}} + 0,271 \cdot d_{\text{пр}} = 0,434 \text{ см}$$

$$\omega_{k\text{э}} = 14,3 \text{ м/с}$$

Значение $\omega = 3,8 \text{ м/с}$ характеризует среднюю скорость в канале, а $\omega_{k\text{э}}$ – максимальную в наименьшем сечении.

Отсюда следует ,что число Re в слое имеет значение от 2400 до 3200, т.е. характер движения воздуха в каналах можно считать близким к ламинарному.

И окончательно полная площадь поверхности слоя прдукта равна.

$$S_{\text{пп}} = 4\pi r_{\text{пр}}^2 \cdot \frac{P}{m_{\text{пр}}} = 4\pi \left(\frac{3V_{\text{пр}}}{4\pi} \right)^{2/3} \cdot \frac{P}{m_{\text{пр}}} \approx 11200 \text{ см}^2$$

Полученные параметры позволяют определят истинные скорости сушки продукта в одном слое продукта, что обычно имеет место на практике.

Рассмотрим теперь случай, когда в камере находится две полки продуктами

$$(\omega_2 = 0,65 \text{ м/с})$$

Общее падение давления $\Delta P =$ равно (см, 1.4)

$$\Delta P_2 = K(L_0^2 - L_2^2)$$

где $K = 3,54 \cdot 10^{-5} \text{Па} \cdot \text{ч/м}^3$; $L_0 = S \cdot \omega_0 \cdot 3600 = 1113 \text{ м}^3/\text{ч}$; или

$$\Delta P = \cong 28,8 \text{ Па}$$

Если рассматривать сопротивления в каждом слое местный, то расчетное значение ∇P_{2p} равно

$$\nabla P_{2p} = 2 \cdot \xi_M \cdot \rho \frac{\omega_2^2}{2} = 21,8 \text{ Па}$$

т.е. расчеты и эксперименты с учетом принятых допущений совпадают (погрешность в определении скорости в 0,1 м/с приводит к погрешности определения ∇P в 33%).

Для трех слоев ($\omega_3 = 0,62 \text{ м/с}$)

$$\Delta P_{3p} = K(L_0^2 - L_3^2) = 3,54 \cdot 10^{-5} (1,41 \cdot 10^6 - 736,6^2) = 30,7 \text{ Па}$$

а расчетное значение ΔP_3 (ΔP_{3p}) равно

$$\Delta P_{3p} = 3 \cdot \xi_M \cdot \rho \frac{\omega_3^2}{2} = 29,75 \text{ Па}$$

Для четырех полок из графика $\omega_4 = 0,58 \text{ м/с}$, или

$$\Delta P_3 = K(L_0^2 - L_4^2) = 3,54 \cdot 10^{-5} (1,41 \cdot 10^6 - 689^2) = 33 \text{ Па}$$

Расчетное значение ΔP_p равно

$$\Delta P_p = 4 \xi_M \cdot \rho \frac{\omega_4^2}{2} = 4,34 \cdot 1,2 \frac{0,336^2}{2} = 34,7 \text{ Па}$$

Для пяти слоев ($\omega_5 = 0,54 \text{ м/с}$), или

$$\Delta P_3 = K(L_0^2 - L_5^2) = 3,54 \cdot 10^{-5} (1,41 \cdot 10^6 - 641,5^2) = 35,34 \text{ Па}$$

$$\Delta P_p = 5 \xi_M \cdot \rho \frac{\omega_5^2}{2} = 5,43 \cdot 1,2 \frac{0,54^2}{2} = 37,6 \text{ Па}$$

Скорость движения воздуха в одном слое продукта ,как было показано выше не зависит от размера продукта ,учитывая ,что формулам для местных сопротивлений, будем считать что также и формула (1.11)

Результаты расчетно –экспрементальных исследований показали возможность определения тстинной скорости сушки различных продуктов а также определяетьнеобходимо число полок с продуктами ,использовать полученные зависимости для гидравлического и теплового расчета сушилок.

1.1.2. Расчетно экспрементальные исследования прцесса сушки плодов и виноградова в первом периоде.

Знание скорости сушки зависимости ее от температуры и влажностных параметров теплоносителя и свойств теплоносителя и свойств продукта позволяет не только правильно подбирать режимы сушки ,но и обеспечиватьнаиболее экономичное прведенепроцесса сушки в различных типах сушильных устанрвок и что особенно важно в комбинированных установках .Эта обусловлено тем ,что в гелио тепловых сушилках достаточно сложно обеспечить постоянства режима сушки.

В общем случае скорость сушки N или скорость испарения влаги из продукта определяется в виде:

$$N = \frac{1}{S} \cdot \frac{\Delta m}{\Delta T} \left[\frac{\text{КГ}}{\text{М}^2 \cdot \text{Ч}} \right] \quad (1.19)$$

где Δm изменение массы продукта за время ΔT ,S-площадь поверхности продукта.

Определение скорости сушки N , и привязка ее к параметрам прцесса сушки (температура - t_T вложность - Y_T , скорость движения теплоносителя - ω_T и влажность продукта - ω_n)

И к площади поверхности продукта S , изменяющейся во времени, достаточно сложная задача требующая проведения специальных, детальных исследований.

Однако даже в этом случае, эти результаты могут быть только первым приближением к реальным процессам сушки. В реальных процессах сушки имеет место существенное изменение параметров процесса как в самой установке, так и во времени.

Отсюда следует, что исследование скоростей сушки необходимо проводить в первую очередь в условиях, которые достаточно близки к реальным.

В связи с этим нами исследования в определению скоростей сушки различных плодов и винограда проводились в режимах достаточно полно воспроизводящих реальные условия при сушке этих продуктов (см 2.2) в сельскохозяйственных районах Узбекистана. Исследование в указанных режимах необходимо также для обеспечения экономии энергии, особенно для комбинированных гелиосушительных аппаратов. Это связано с тем, что цель применения комбинированных сушилок увеличение производительности при незначительном увеличении расхода энергии.

На основе рассмотренных выше особенностей нами были проведены исследования по определению скоростей сушки различных плодов и винограда в комбинированной гелиотепловой сушилке.

Характерные температурно-влажностные режимы в камере комбинированной сушилки и на открытом воздухе приведены на рис 13. Рассмотрим подробно особенности методики и результаты определения скоростей сушки винограда, абрикоса и вишни. Исследования проводились как указано выше в условиях близких реальным. Сравнение проводилось с солнечной сушкой продуктов на открытой площадке. В результате экспериментов.

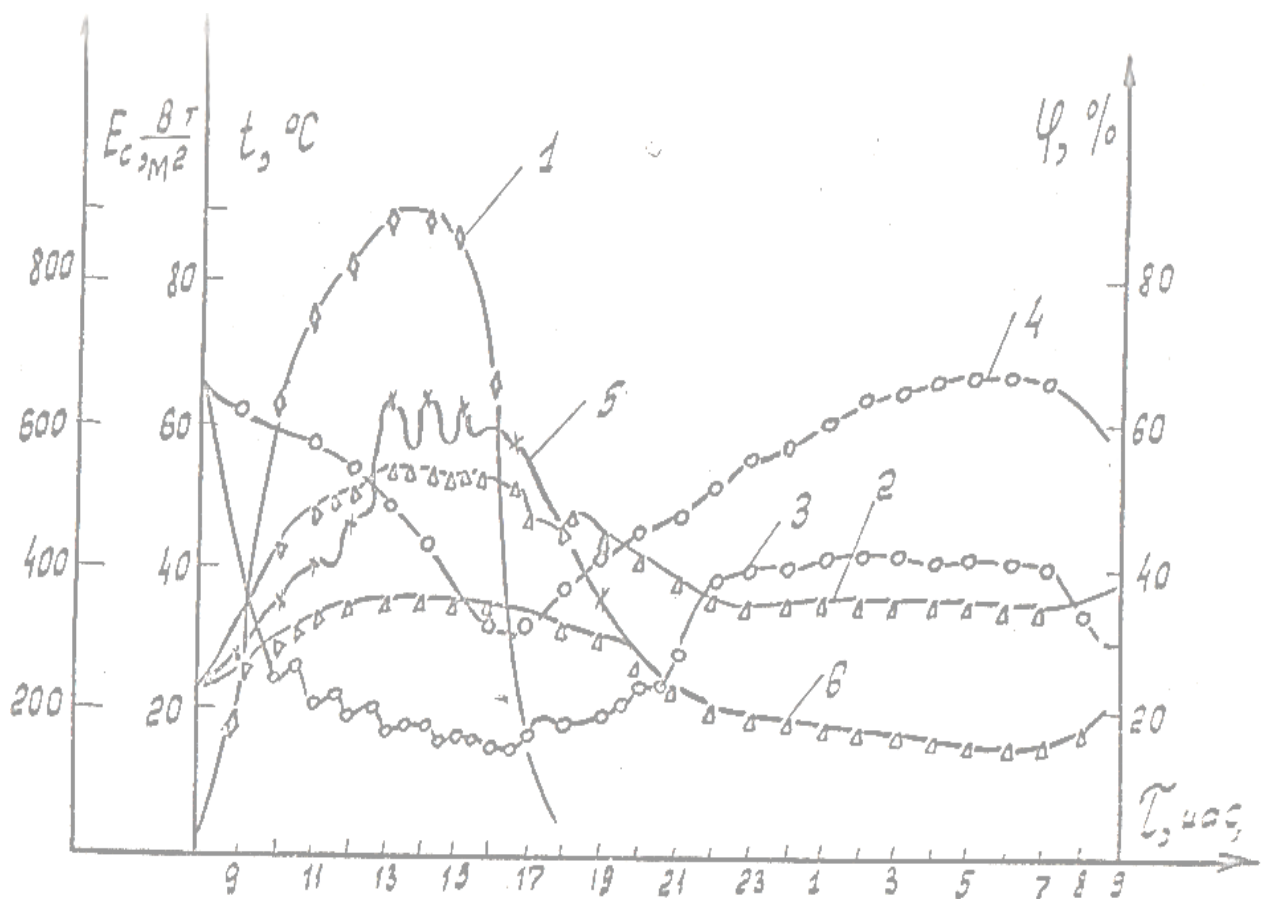


Рис: 6 Температура –влажностей режим в комбинированной гелиотепловой сушилке:1-солнечная радиация ,2- температура и 3 влажность воздуха в камере,4- влажность и 6 – температура наружного воздуха, 5- температурп в гелионагревателе контролировались массо- габаритные параметрыпродукта.

На основе экспериментальных данных были определены относительная скорость сушки N^i ($N^i = N \cdot S$), а также изменение влажности ω и влагосодержания U в продукте. Обработка данных проводилась по общепринятым формулам

$$N^i = \frac{\Delta m}{\Delta T} \left[\frac{\text{кг}}{\text{ч}} \right] \quad (1.20)$$

$$\omega = \frac{m_b}{m_b + m_c}$$

При периодических изменениях в процессе сушки

$$\omega = \frac{(m_{BH} - \Sigma \Delta m)}{(m_{BH} - \Sigma \Delta m) + m_c} \quad (1.21)$$

Где m_{BH} - начальное содержание воды в пордукте.

m_c - содержание сухого вещества.

Начальное значен е массы воды m_{BH} и сухого вещества m_c определялась из усредненных значений начального и конечного значений начальгого и конечного значений влажности.

$$\omega = \frac{U}{100+U} [\%] \text{ или } U = \frac{\omega}{100-\omega}, \% \quad (1.22)$$

Проведем анализ для наиболее характерных продуктов винограда, абрикоса и вишни. На основе выше указанных условий была исследована кинетика сушки разлмчных плодов и винограда в различных режимах.

На рис 7 а приведены кривые изменения массы винограда кишмиш черный в процессе сушки на открытом воздуха (1) и в камере комбинированной сущилке. Удельные нагрузки на 1 м² площади составляли для винограда на открытом воздухе 10-12 кг и в камере до 21 кг. Усреднение значение массы ,габаритов и влажности винограда – кишмиш черный в начале и в конце сушки приведены в таблице 1.

Таблица 1

Период	Размер ы см	Масс а г	Влажност ь, %	Площадь , см ²	Объем,см ³	Плот ность,г/см ²
Начало сушки	e=1,75 d=1.35	2.15	79	7.41	1.86	1.156
Окончани е сушки	e=1.3 d=0.75	0.55	19.2	3.06	0,463	1,188

На основе экспериментальных данных по формулам (1.20)-(1.22) были рассчитаны для винограда текущие значения N^i . ω . U таб,3).

На рис.7б представлены относительные скорости сушки N^i винограда на открытой площадке и в камере, в зависимости от относительного влагосодержания \bar{U} ($\bar{U} = U - u_0$). Там же приведена для сравнения временные характеристики процессов в камере и на площадке. Анализ кривых относительных скорости сушки N^i на рис.14б показывает, что и для случая переменных условий для интервала времени ΔT в один сутки можно наблюдать достаточно четко, отдельные периоды сушки – первый (постоянно скорости), второй и третий периоды – убывающей скорости сушки. Указанные границы различных периодов сушки получены для относительной скорости N^i для действительных скоростей сушки

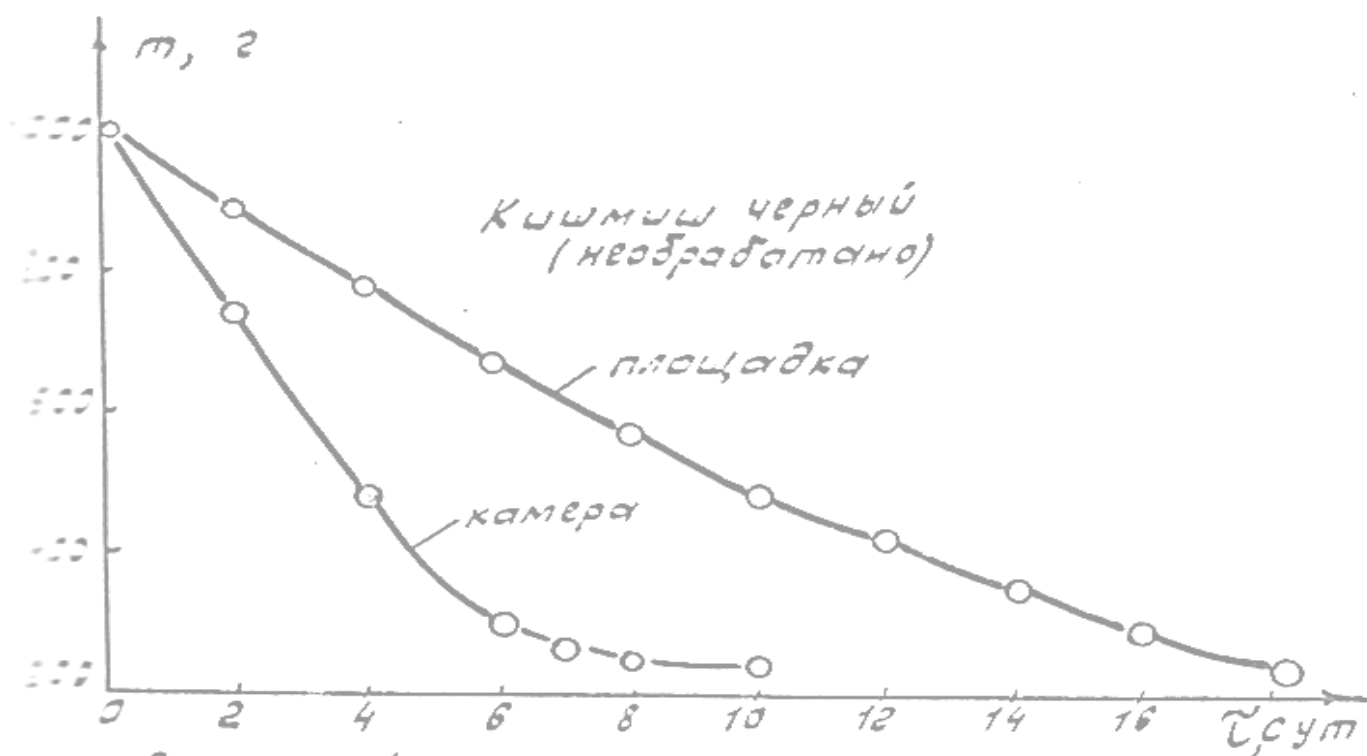


Рис. 7а Усредненная кривая сушки

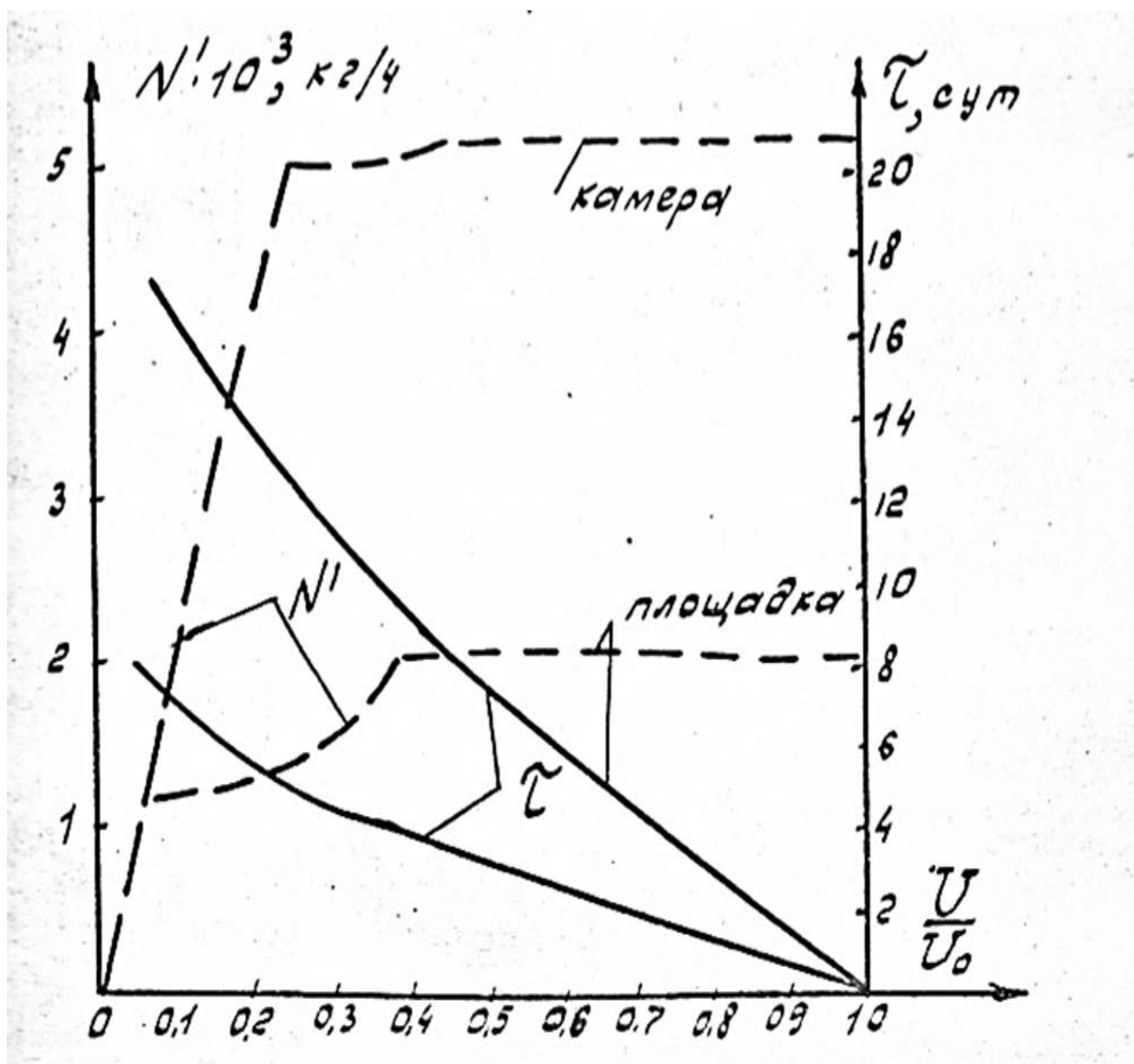


Рис.7 б Относительная скорость и продолжительность сушки винограда кишмиш черный.

Кинетика сушки винограда кишмиш черный

таблица 2

площадь	τ , сутки	0	1	2	3	4	5	6	7	8	9	10	11	12	13
	$\Delta m \cdot 10^2$, кг	0	5	5	5	5	5	3,5	3,0	3,0	3,5	3,5	3,5	3	2,5
	$N^1 \cdot 10^3$, кг/ч	0	0,08	2,08	2,08	2,08	2,08	1,46	1,5	1,25	1,46	1,46	1,46	1,25	1,0
	W, %	79	77,9	75,3	72	67,7	61,8	55,3	52,3	48,8	44	38,2	31,1	23,6	19,6
	U, %	376	352	305	257	209	162	124	109,5	95,2	78,6	62	45,2	31	21
	U/U_H	1	0,93	0,81	0,68	0,55	0,43	0,33	0,29	0,253	0,21	0,16	0,12	0,08	0,6
		0	1	2	3	4	5	6	7	8	9	10			
камера	$\Delta m \cdot 10^2$, кг		12.5	12.5	12.5	12.5	11	7	4	2.5	1	1			
	$N^1 \cdot 10^3$, кг/ч		5.2	5.2	5.2	5.2	4.6	2.9	1.7	1.04	0.42	0.42			
	W, %	49	76.0	72.0	66.4	58.0	46.1	34.4	25.0	17.6	14.3				
	U, %	376	317	257	198	133	85.7	52.4	33.3	21.4	16.7				
	U/U_H	1	0.84	0.68	0.52	0.37	0.23	0.14	0.09	0.067	0.044				

вид кривых может отличаться. В то же время можно утверждать что точка излома кривой сушки будут иметь место при тех же значениях величин относительного влагосодержания и для кривых действительной скорости сушки. Таким образом на полученных кривых следует, что окончание первого периода сушки имеет место при относительных влагосодержании 0,35 +0,38 при сушки винограда та открытой площадке и при значениях 0,45 при сушке в камере.

Указанные величины относительного влагосодержания соответствуют влажности продукта на границе первого периода ω , вычисляемой по формулам

$$\omega_1 = \frac{\bar{U}_1 \cdot U_0}{1 + \bar{U}_1 \cdot U_0} \quad (1,23)$$

$$\bar{U} = \frac{U}{U_0}$$

где \bar{U} - относительно и U_0 - начальное влагосодержание продукта.

Из экспериментов было получено, что в данном случае $U_0 = 3,76$ (при $\omega_0 = 79\%$)

,или при сушке на площадке $\omega_1 = 57.8\%$ ($\bar{U}_1 \approx 0,365$), при сушке в камере $\omega_1 = 63.6\%$ ($\bar{U}_1 \approx 0.465$). Не смотря на то что полученные выводы о границе первого периода не изменяется при переходом и абсолютным величинам скорости сушки, значение истинной скорости сушки необходимо как для перехода к другим продуктам, так и для расчета сушильной установки. том что в общем площадь поверхности продукта из-за усадки при из следующего основного положение теории сушки : - в первом периоде сушки при постоянной температуре продукта абсолютная скорости сушки постоянна (испарение происходит с поверхности продукта), прчем независимо от того происходит сушки продукта или нет т.е. изменяется или нет площадь поверхности продукта. Отсюда следует, что если бы в первом периоде сушки происходило уменьшение

объема продукта ,то происходило бы уменьшение относительного скорости сушки N^1 .Как видно из экспериментальных кривых относительную скорость сушки в периоде можно считать постоянной, следовательно, можно сделать вывод ,что уменьшение площади поверхности винограда кишмиша черный в первом периоде сушки практически не происходит.

Аналогичные исследования, проводилось нами и для других плодов .На рис.15а рпведены крвые изменения массы при сушке абрикоса с косточной и вишни с косточкой.В таблице 4 приведены характеристики этих продуктов в начале и в конце сушки.

Таблица 3

Характеристики абрикоса и вишни с костчкойв начале ивконец сушки

Продукта	Период сушке	Габариты, см	Масса, г	Влаж, %	Объем, см ³	Площадь, см ²	Масса, пост	Плотность, г/см ³
Абрикос	Начало	3,5х3 х2,5	22	85,8	20	17,5	2	1,1
	Оконч	2,7х2,2 Х2,6	5,93	14,7	7,6	6,46	2	0,78
Вышня	Начало	d=1.43	1.53	85.1	1.54	6.45	0.197	0.993
	Оконч	d=1.05	0,518	19	0,606	3,46	0,197	0,855

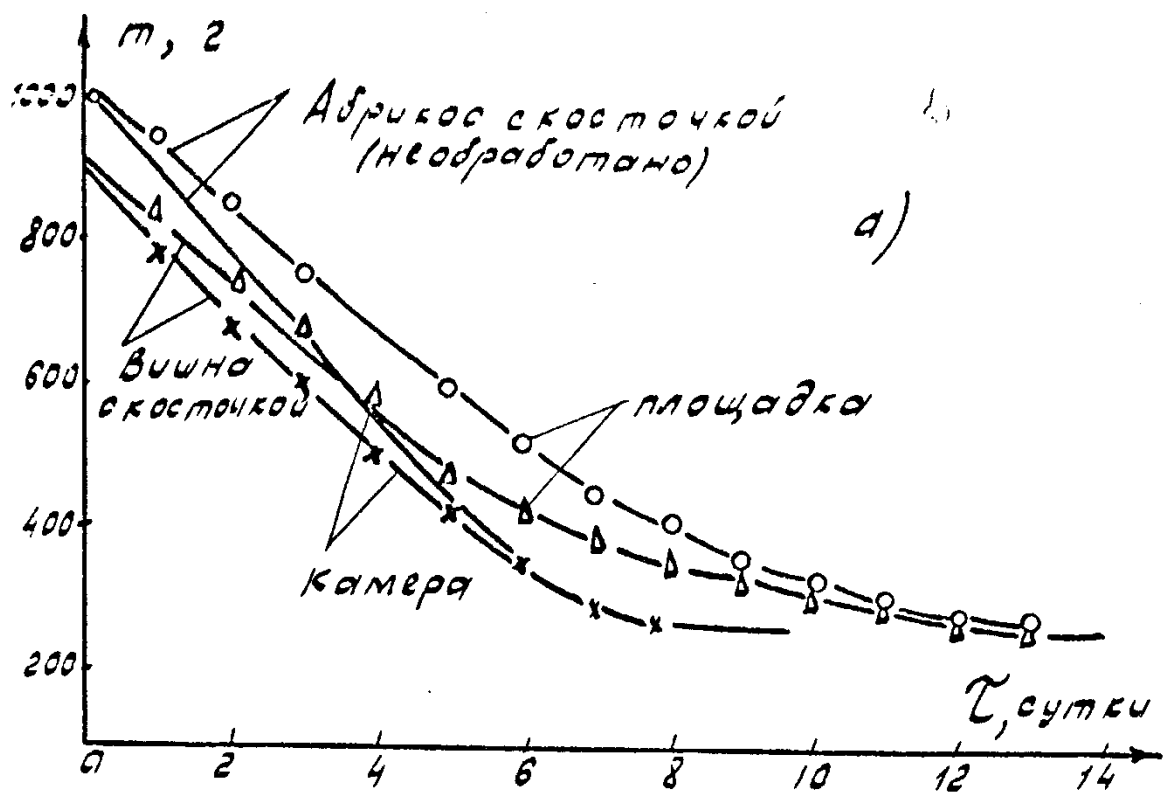


Рис.8 а кинетика сушки абрикоса и вишни

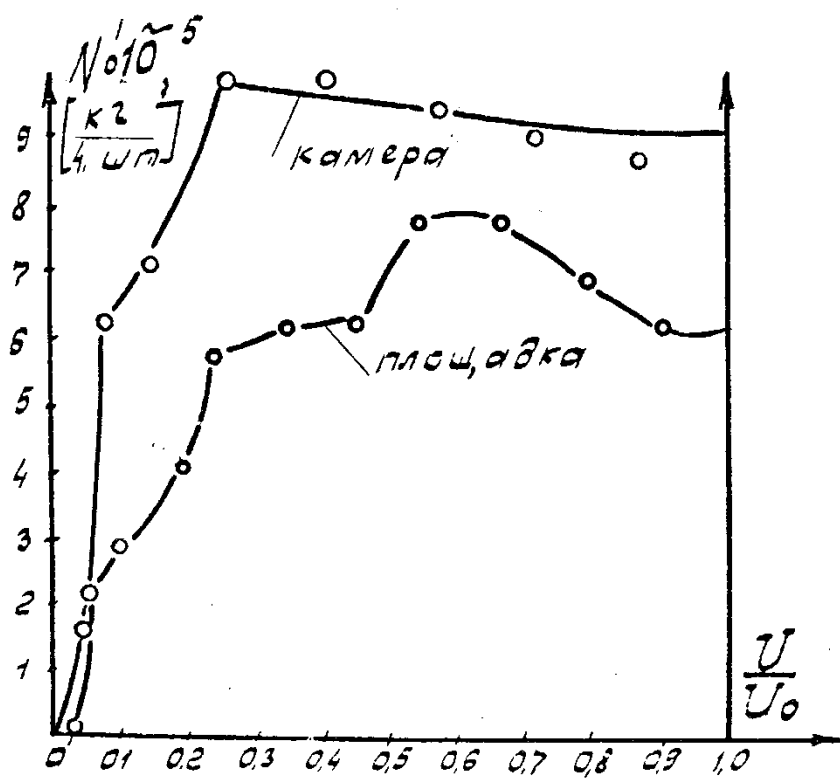


Рис.8 б Кривые относительной скорости сушки абрикоса от влагосодержания в продукте.

На рис 8 б приведены кривые относительной скорости N^1 сушки абрикоса и на рис 16 кривые изменения N^1 для вишни с косточкой в камере и на открытой площадке. Значения относительной скорости сушки N^1 влажности продукта ω и относительного влагосодержания для абрикоса и вишни по которым построены графики N^1 на рис.8 б и рис. 9 даны в табл. 5и 6 соответственно. Анализ экспериментальных кривых скорости сушки абрикоса (рис 8) и вишне с косточкой(рис 9) показывает, что здесь в отличие от винограда имеет место больший разброс экспериментальных точек ,а в некоторых случаях наблюдается даже рост относительной скорости сушки. В то же время ,можно видеть что также как и для винограда , достаточно четко выделяется граница между первым и вторым периодам сушки. Можно также видеть ,что влияние температуры на скорость сушки существенно. Из сравнительного анализа кривых следует ,что влияние температуры на скорость сушки различно для различных продуктов ,так наибольшее влияние температуры наблюдается для винограда,меньшее для абрикоса и самое маленькое вишни.

Для практического использования полученных результатов рассмотрим возможность получения обобщенных зависимости для скоростей сушки в первом периоде. В качестве определяющего параметра очевидно необходимо использовать среднесуточную температуру воздуха в процессе сушки. Значение этого параметра,а также относительное влагосодержание, влажность, площадь поверхности продукта и относительная и абсолютная скорости сушки в конце первого периода приведены в таб.6

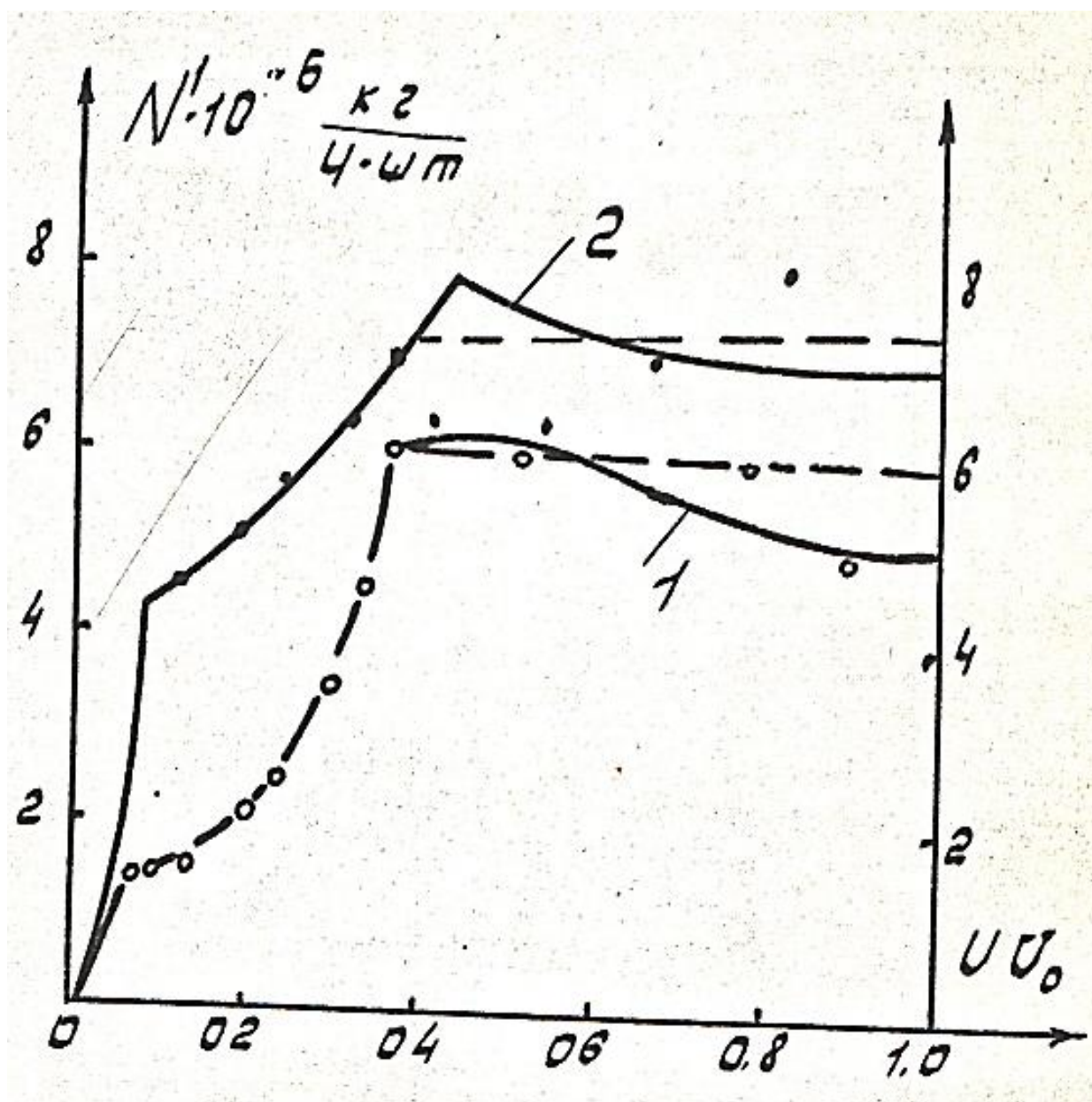


Рис.9 Относительные скорости сушки вишни с косточкой на площадке (1)
и в комбинированной сушилке (2)

Относительные скорости сушки абрикоса N¹ на воздухе (плошадка) и в камере Таблица 4

камера	τ , сутки	0	1	2	3	4	5	6	7	8	9	10	11	12	13
	$\Delta m \cdot 10^2$, кг	0	8,0	11,0	11,5	12,0	12,0	8,5	6	1,5	1				
	$N^1 \cdot 10^5, \frac{\text{кг}}{\text{ч. шт}}$	0	6,6	9,1	9,5	10	10	7,1	4,95	1,2	0,82				
	W, %	85,8	84	81,3	77,5	71,6	61,2	47,7	30,8	24,7	20				
	U, %	604	521	435	345	251	158	91,4	44,5	32,7	24,9				
	U/U_H	1	0,863	0,72	0,57	0,42	0,26	0,15	0,07	0,05	0,04				
плошадка	$\Delta m \cdot 10^2$, кг	0	5	8,5	9,5	9,5	7,5	7,5	7	5	4	3,5	2,5	2	0,8
	$N^1 \cdot 10^5, \frac{\text{кг}}{\text{ч. шт}}$	0	4,1	7	7,8	7,8	6,2	6,2	5,8	4,1	3,03	2,9	2,0	1,65	0,66
	W, %	85,8	84,5	82,7	80,1	76,7	73	68	61,2	54,3	46,7	37,6	29,0	20	15,8
	U, %	603	544	478	404	32,9	271	212	157	119	87,5	60,1	40,6	25	18,7
	U/U_H	1	0,90	0,79	0,67	0,55	0,45	0,35	0,26	0,2	0,15	0,10	0,7	0,4	0,3

Относительные скорости сушки вишни N¹ кг/ч.шт/на открытом воздухе (площадка) и в камере

Таблица 5

камера	τ , сутки	0	1	2	3	4	5	6	7	8	9	10	11	12	13	14
	$\Delta m \cdot 10^2$, кг	0	11,5	10,0	9,0	9,0	8,5	7,0	6,0	2,0	1,0	0				
	$N^1 \cdot 10^6, \frac{\text{кг}}{\text{ч. шт}}$	8,14	8,14	7,08	6,37	6,37	6,02	4,96	4,25	1,42	0,71	0				
	W, %	85,1	82,5	79,5	75,6	70,0	61,1	50,1	33,0	24,2	19					
	U, %	572	473	387	310	233	160	100	49,2	32,0	23,4					
	U/U_H	1	0,83	0,68	0,54	0,41	0,28	0,18	0,036	0,056	0,04					
площадка	$\Delta m \cdot 10^6$, кг	0	7	8,55	8,55	8,5	9,5	5	3,5	3	2,5	2	2	2	1	
	$N^1 \cdot 10^6, \frac{\text{кг}}{\text{ч. шт}}$	4,96	4,96	6,02	6,02	6,02	6,73	3,54	2,48	2,12	1,77	1,42	1,42	1,42	0,71	0,71
	W, %	85,1	83,6	81,4	78,5	74,6	68,0	62,8	58,2	53,1	48,0	42,8	36,6	29,0	24,2	1,9
	U, %	572	512	439	336	293	212	169	139	113	92	75	58	40,6	32	23

	U/U_H	1,00	0,895	0,768	0,640	0,52 3	0,370	0,3	0,24	0,2	0,16	0,13	0,10	0,07	0,0 6	0,0 4
--	---------	------	-------	-------	-------	-----------	-------	-----	------	-----	------	------	------	------	----------	----------

Таблица 6

Параметры сушим продуктов в первом периоде

Продукт	Режим	t сут ,см ²	S.см ²	ω ,%	U	$N^1 \cdot 10^5, \frac{\text{кг}}{\text{ч. шт}}$	$N^1 \cdot 10^2, \frac{\text{кг}}{\text{ч. шт}}$	ω_H %
Виноград кишмиш	Воздух	28	7.41	59.4	0.39	0.45	0,637	79
черный	камера	43	7,41	63,6	0,465	1,12	1,51	
Абрикос	Воздух	28	17	59,1	0,24	5,7	3,35	85,8
	Камера	43	17	61	0,26	9,5	5,59	
Вишня с костичкой	Воздух	28	6,42	67,3	0,36	0,6	0,934	85,11
	Камера	43	6,42	68	6,37	0,8	1,46	

Здесь N^1 , N – относительная и абсолютная скорости сушки с поверхности одной ягоды. Для вишни при определении \ddot{U}, ω вес косточки исключен.

Как видно из таб 6 в конце первого периода сушки влажность продуктов ещё достаточно велика, причем с увеличением температуры сушки граничная влажность растет. В связи с этим, представляет интерес вопрос об величинах усушки, т.е. отношении масс продуктов в начале и в конце первого периода. Из определения понятие влажности следует, что

$$\omega_H = \frac{M_B}{M_H}; \quad \omega_i = \frac{M_{bi}}{M_i} \quad (1.24)$$

где M_B, M_i – масса воды в продукте в начале и в i –тые моменты времени,

M_H, M_i – массы продуктов. учитывая, что

$M_B = M_B + M_c$ и $M_i = M_{Bi} + M_c$ получим

$$\frac{M_H}{M_i} = \frac{100 - \omega_i}{100 - \omega_H} \quad (1.25)$$

Из табл. 6 и (1.25) следует, что отношения масс в конце первого периода будут равны

	На воздухе	в камере
Виноград	1,93	1,73
Абрикос	2,88	2,75
Вишня	2,20	1,94

Как видно, несмотря на то что влажность продуктов в конце первого периода еще достаточно высока и превышает 60%, масса продуктов уменьшилась почти в два раза. Отсюда следует, что если скорость сушки в первом периоде постоянно, несмотря на существенное уменьшение массы, то при этом должна сохраняться постоянно и площадь поверхности продукта. Можно сделать также вывод, что в первом периоде продукта сушки должно происходить и существенное уменьшение плотности продукта. Физически это может иметь место при следующих условиях – внутри продукта между оболочкой и мякотью появляются пустоты. Из результатов исследований следует также, что этот процесс может меняться в зависимости от температуры сушки. Так с увеличением температуры сушки этот процесс начинается раньше и заканчивается при большей влажности, т.е. объем пустот будет меньше, чем при сушке на открытом воздухе (сушка при меньшей температуре).

Таким образом для указанных продуктов с плотной кожицей механизм сушки в первом периоде имеет особенности – сохранение начального объема и появление пустот в продукте. О наличии пустот свидетельствует и то, что масса продуктов уменьшается в 2-3 раза.

Из результатов исследований следует, что возможно, в первом приближении, определить эмпирические зависимости между температурой сушильного агента и скоростью сушки, а также связь температуры и продолжительности сушки. Для рассматриваемого интервала температур эти зависимости приведены на рис. 10. Как видно, в этом интервале

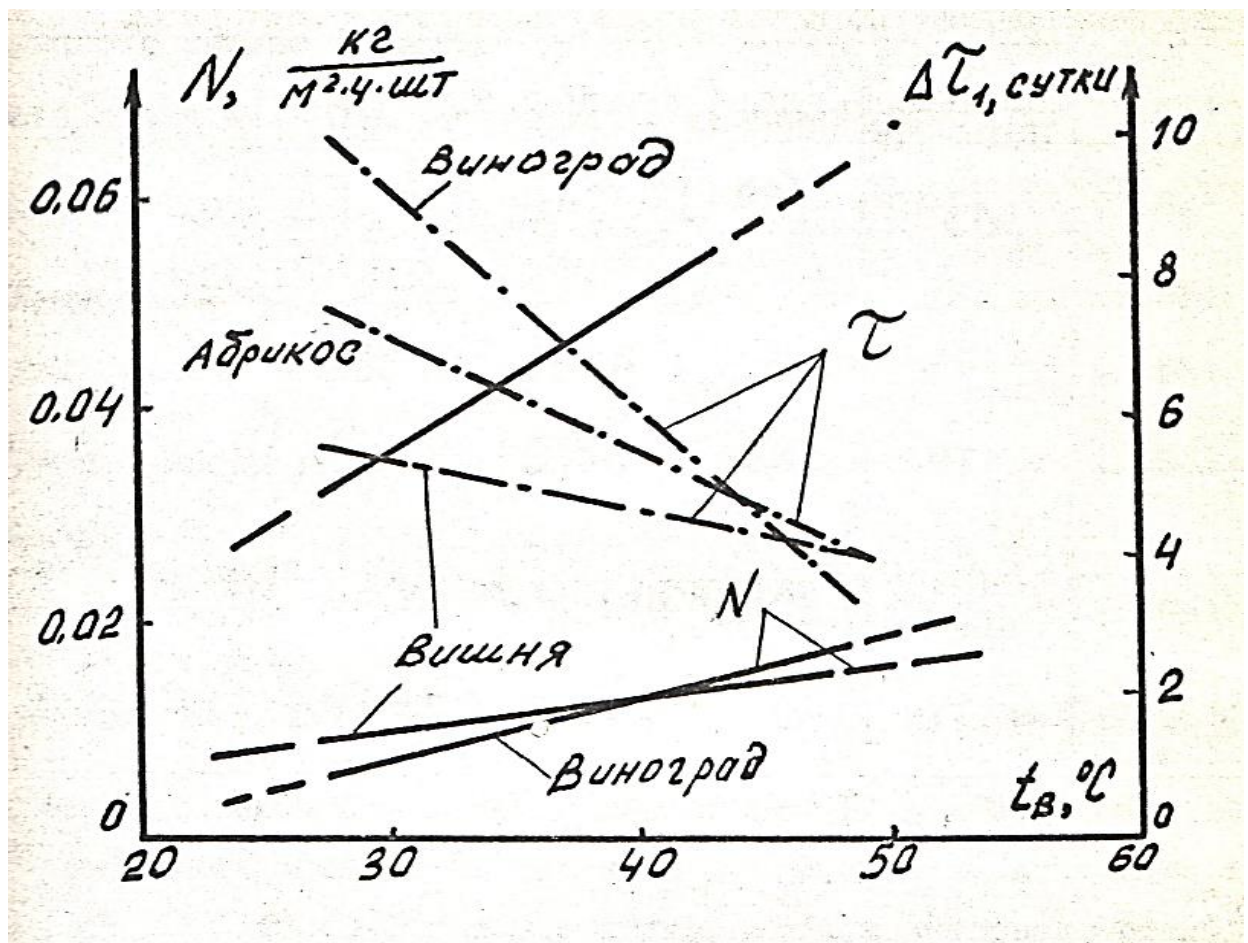


Рис.10 скорость N и продолжительность сушки в первом периоде в зависимости от температуры сушки.

температур их можно аппроксимировать зависимостями вида

$$y = y_0 + K \cdot (t - t_0) \quad (1.30)$$

где t, t_0 — температура сушки текущее и начальное.

Для рассмотренных продуктов в первом периоде сушки имеем

Виноград кишмиш черный

$$\text{Скорость сушки } N_1 = 6,07 \cdot 10^{-3} = 60,02 \cdot 10^{-4} (t - 28), \quad \left[\frac{\text{кг}}{\text{м}^2 \cdot \text{ч} \cdot \text{шм}} \right] \quad (1.31)$$

$$\text{Продолжительность } \tau_1 = 10 - 0,425 \cdot (t - 28), \quad [\text{СУТКИ}] \quad (1.32)$$

Абрикос

$$\text{Скорость сушки } N^1 = 3,35 \cdot 10^{-2} + 1,5 \cdot 10^{-3} (t - 28), \quad \left[\frac{\text{кг}}{\text{м}^2 \cdot \text{ч} \cdot \text{шм}} \right] \quad (1.33)$$

$$\text{Продолжительность } \Delta\tau_1 = 7,5 - 0,156 \cdot (t - 28), \quad [\text{сутки}] \quad (1.34)$$

Вишня

$$\text{Скорость сушки } N^1 = 9,34 \cdot 10^{-3} + 3,51 \cdot 10^{-4} (t - 28) \left[\frac{\text{кг}}{\text{м}^2 \cdot \text{ч} \cdot \text{мм}} \right] \quad (1.35)$$

$$\text{Продолжительность } \Delta\tau_1 = 5,2 - 0,044 \cdot (t - 28), \quad [\text{сутки}] \quad (1.36)$$

Полученные зависимости, как видно из рис.10 можно использовать при практических оценках не только в рассматриваемом интервале температур от 28 °С до 43°С, но и в более широком интервале от 20°С до 50 °С т.е. охватить диапазон температур, который может быть обеспечен в гелио- и комбинированных сушилках.

Можно отметить, что одним из факторов, определяющих кинетику сушки, является влажность теплоносителя и в общем случае он должен для имевших место режимов сушки (см.рис,б) и ходе кривых скорости и времени сушки (см.рис. 10) основным фактором является температура

1.1.3. Кинетика сушки плодов и винограда во втором периоде сушки

Из экспериментальных кривых сушки и рассчитанных на их основе кривых относительной скорости сушки N^1 следует, что практически для всех рассматриваемых продуктов можно также достаточно четко выделить как начало, так и окончание второго периода - периода убывающей скорости сушки. Причем эти границы, как видно, определяются характеристиками продукта, так и температурой в сушильной камере. В этом периоде, как следует из теории сушки, вследствие уменьшения скорости сушки (зона испарения углубляется в материал) начинает расти температура продукта. В производственных условиях различных материалов эти границы между периодами являются опорными точками, начиная с которых необходимо уменьшить тепловые потоки или в данном случае, температуру сушильного агента. Причем, как видно, особенно важной в практическом плане является граница окончания второго

периода, начиная с которой начинается резко падение скорости сушки. Как отмечалось выше, масштабы полученных кривых сушки, построенных по абсолютным скоростям сушки N^1 будут изменяться при переходе к абсолютным скоростям сушки N . Переход от N^1 к N необходим и для того, чтобы более обоснованно не только в качественном плане, но и в количественном для того, чтобы проводить корректировку температурных режимов. Определение истинных скоростей сушки во втором периоде, в принципе, более сложная задача т.к. здесь происходит одновременное уменьшение как самой скорости сушки, так и изменение объема и площади поверхности продуктов. Как было получено выше, в 2.2.2 изменение этих параметров происходит различным образом. Так, было получено, что уже при влажности около 60-70% а конце первого месяца продукта изменяется в 2-3 раза и так как при этом экспериментальное наблюдалось постоянство N^1 , допуская что и N постоянно (следует из теории сушки) вытекает, что и площадь поверхности продукта также должна оставаться постоянной.

Для анализа указанных вопросов во втором периоде сушки рассмотрим изменение массы и влажность продукта. Как было получено из анализа первого периода сушки, для рассматриваемых продуктов площадь поверхности продукта должна быть постоянной, несмотря на уменьшение массы от 1,7 до 2,9 раз. Из кривых сушки следует, что к окончанию второго периода составляет (см. таб. 7).

Таблица 7

Продукт	Режим	\bar{U}_k	$\omega_k, \%$	M_H/M_k	U_0
Виноград	Воздух	0,1	27,3	1,79	3,75
	Камера	0,25	48,45	1,416	
Абрикос	Воздух	0,05	23,17	1,87	

	Камера	0,08	32,54	1,72	6,03
Вишня	Воздух	0,07	28,6	2,18	5,72
	Камера	0,08	31,4	2,13	

M_H - Масса продукта к концу первого периода сушки:

M_K - Масса продукта к концу второго периода сушки:

Пересчет от U_K к ω_K осуществляется по (1.23)

Из табл.7 видно, что к окончанию второго периода сушки масса воды в продукте не превышает 10% т.е. продукт уже в основном включает только сухие вещества. Отсюда можно сделать вывод о том, что действительная плотность продукта может быть уже близка к конечной плотности продукта которую он приобретает к моменту окончания сушки в третьем периоде. Характеристики рассмотренных выше продуктов в начале и в конце сушки приведены в табл.8

Таблица 8

Характеристика продуктов в начале и в конце сушки

Продукт	Размеры см	Масса г	Объем см ³	Площадь см ²	Плотн. г/см ³
Виноград	В целом $e = 1.75$ $d = 1.35$	2,15	1,86	7,42	,156
	Косточка Мякоть				
	В целом $e = 1.3$ $d = 0,75$	0,55	0,463	3,06	1,19
	Косточка Мякоть				

Абрикос	В целом 3,5х3х2,5	22	20	17	1,10
	Косточка	2,38	2,4	2	0,991
	Макоть 3,5х3х2,2	19,62	17,6	17	1,115
	В целом 2,7х2,2х1,6	5,93	7,6	6,45	0,78х
	Косточка	2,38	2,4	2	0,991
	Макоть 2,7х2,2х1,6	3,55	7,6	6,46	0,47х
Вишня	В целом d=1.43	1.53	1.54	6.42	0.993
	Косточка d=0.675	0.197	0.161	1.432	1.22
	Макоть 1.43	1.333	0.379	6.42	0.967
	В целом d=1.05	0.518	0.606	3.46	0.855
	Косточка d=0.675	0.197	0.161	1.43	1.22
	Макоть d=1.05	0.244	0.445	3.46	0.721 ^x

^x- плотность кажущаяся.

Как видно из табл 8 для абрикоса и вишни наблюдается существование уменьшение плотности. Эта обусловлено тем, что плотность определялась как отношение массы и габаритным размером (и объему) продукта. И так как поверхность этих продуктов существовавшего неровня, то габаритный объем продуктов. Действительно плотности этих продуктов, как следует из винограда (неровности поверхности меньше) должны иметь плотности не меньше плотности исходного продукта. Учитывая вышеуказанное, имеем следующие факты: площадь поверхности продуктов до конца первого периода была постоянной, а масса продукта к концу второго периода практически равняется массе, которую имеет продукт к концу сушки.

В общем, для второго периода сушки также известно, относительная и абсолютная скорости сушки уменьшаются. Если при этом допустить, что площадь поверхности продукта также уменьшается, то изменение абсолютной скорости сушки должно быть медленнее, чем изменение скорости. Из кривых на рис. 7б, 8б, 9 видно, что относительная скорость

сушки во втором периоде изменяется различным образом в зависимости от продукта и режима сушки.

Из указанных фактов, а также учитывая, что площадь поверхности продуктов в первом периоде, как было получено нами выше оставалось постоянной, прием допущение о том, что во втором периоде абсолютная скорость сушки постоянна, а изменение (уменьшение) относительной скорости сушки происходит за счет уменьшения площади поверхности продукта.

В таблице 10 приведены параметры указанных продуктов: m_2, S_k - масса и площадь поверхности продукта в конце второго периода; N_0^1, N_2^1 - скорости в начале и конце второго периода сушки.

Для сравнения, там же представлены начальные массы и площади поверхности продуктов.

Характеристика продуктов во втором периоде сушки

Таблица 9

Продукт	Режим	$m_n,$ г	$S_n,$ см ²	$m_2,$ г	$S_2,$ см ²	$N_{02}^1 \cdot 10^5$ Кг/Ч.шм	$N_2^1 \cdot 10^5$ Кг/Ч.шм
Виноград	Воздух	2,15	7,41	0,62 2	4,42	0,45	0,27
	Камера	2,15	7,41	0,87 7	7,11	1,12	1,07
Абрикос	Воздух	19,62	17	3,64	6,26	5,7	2,1
	Камера	19,62	17	4,15	11,09	9,5	6,2
Вишня	Воздух	1,33	6,42	0,27 7	1,5	0,6	0,14
	Камера	1,33	6,42	0,28	3,45	0,8	0,43

				8			
--	--	--	--	---	--	--	--

Из табл. 8 и 9 можно видеть, что массы продуктов за исключением винограда в конце второго периода сушки в основном близких их значениям в конце второго периода сушки в основном близки к их значениям в конце сушки. В то же время допущение о том, что во втором периоде N постоянно, а уменьшается в первую очередь площадь поверхности продукта, требует уточнений (см. Вишная и абрикос на воздухе).

Так с увеличением температуры сушки допущение о постоянстве N во втором периоде более обосновано при высоких температурах сушки, чем при низких, например, на открытом воздухе.

Причем как следует из табл. 9 для различных продуктов эти особенности проявляются различным образом.

Так при сушке на воздухе абсолютная скорость сушки N рассматриваемых продуктов во втором периоде заметно уменьшается.

Это следует из того, что если допустить, что абсолютная скорость сушки N постоянна, то оказывается, что площадь поверхности продукта будет близка или даже меньше чем площадь продукта в конце сушки. При сушке в камеры, где имеют место более высокие температуры, можно принять допущение о том, что N во втором периоде постоянно, особенно для винограда.

Анализируя рассматриваемые периоды сушки, можно отметить следующее качественное изменение характера процесса сушки с увеличением температуры сушки изменяется характер усадки (изменение объема) продукта — при малых температурах он более согласован с изменением массы продукта, т.е. с изменением температуры сушки изменяется и характер изменения плотности продукта.

Эта приводит и тому, что распределение массы в объеме продукта будет более неравномерным. Это особенно характерно для первого периода сушки, а отсюда следует, что она определяет особенности процесса сушки и во втором периоде – усадка продукта в камере идет с большей скоростью, чем на открытом воздухе. Указанный характер процесса физически возможен, как это следует из кривых сушки в том случае, когда с увеличением температуры сушки границы периодов обозначаются при больших влажностях. А это закономерность, как видно из экспериментальных данных действительно имеет место. Для технической оценки процессов, происходящих во втором периоде сушки необходимо в первую очередь выявить длительность этого периода и диапазон величин скоростей сушки в зависимости от температуры сушки.

На рис. 11 приведены зависимости скорости сушки во втором периоде от температуры сушки.

На рис. 12 представлены зависимости продолжительности сушки от температуры во втором периоде сушки.

Анализ результатов представленных на рис. 11, 12 показывает, что если абсолютная скорость сушки продуктов близка к их значениям в первом периоде, то продолжительность второго периода имеет особенности – достаточно быстрое ее уменьшение с ростом температуры. Аппроксимация данных по времени сушки во втором периоде $\Delta\tau_2$, в исследованном диапазоне температур позволяет выразить в виде для винограда кишмиш черный

$$\Delta\tau_2 = 6,5 - 0,36 \cdot (t - 28). \text{ сутки} \quad (1.37)$$

абрикоса

$$\Delta\tau_2 = 4 - 0,137 \cdot (t - 28). \text{ сутки} \quad (1.38)$$

вишни

$$\Delta\tau_2 = 6,8 - 0,22 \cdot (t - 28), \text{ сутки} \quad (1.39)$$

Сравнение полученных зависимостей с данными полученными для первого периода показывает, что здесь практически все продукты имеют близкие начальные значения продолжительности сушки. Выше было указано, что во втором периоде происходит основная усушка продукта. При этом, как следует из анализа данных, можно, в первом приближении, определить коэффициентов усушки продукта и они будут равны изменению относительной скорости сушки. На рис. 13 приведены значения этих коэффициентов усушки продукта K_y . Значения относительной скорости сушки в начале (N_{02}^1) и в конце (N_{21}^1) второго периода приведены в таблице 9.

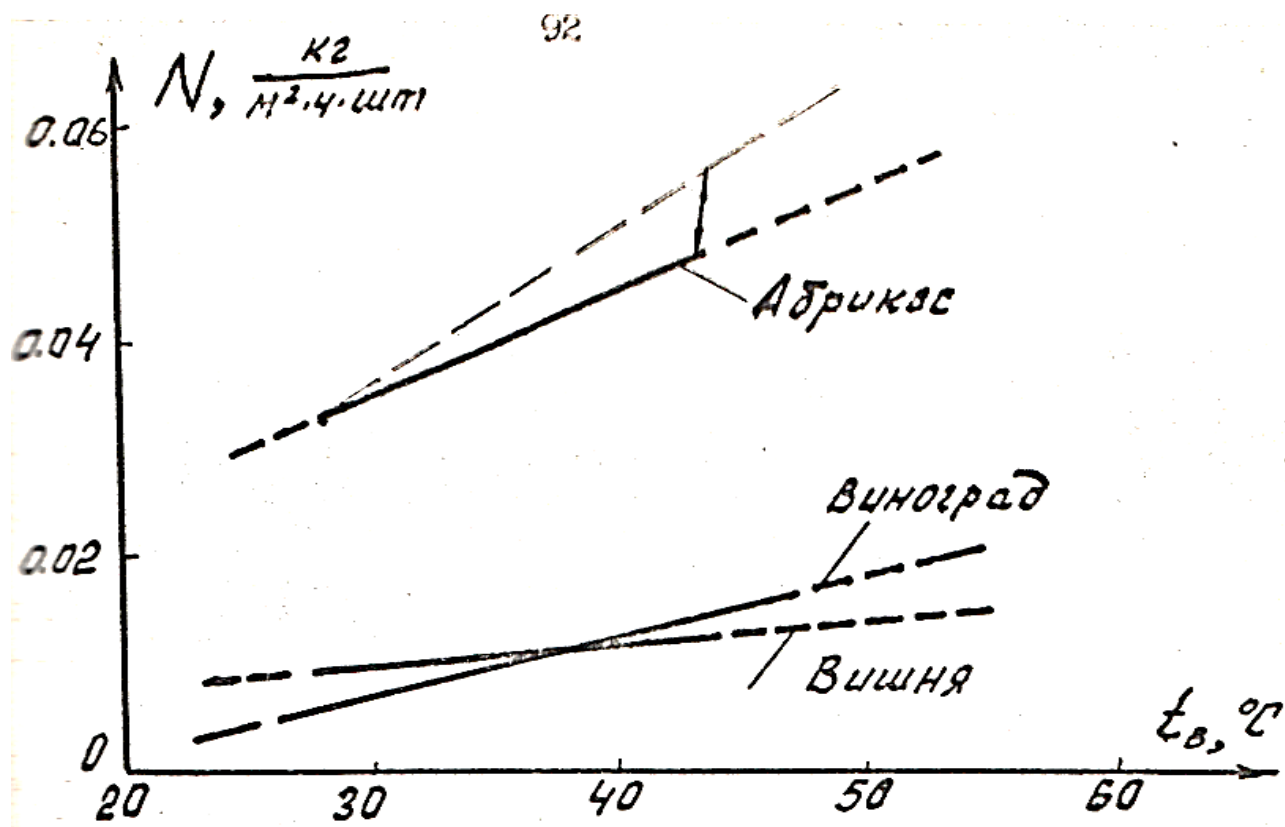


Рис.11. Скорость сушки во втором периоде в зависимости от температуры сушки.

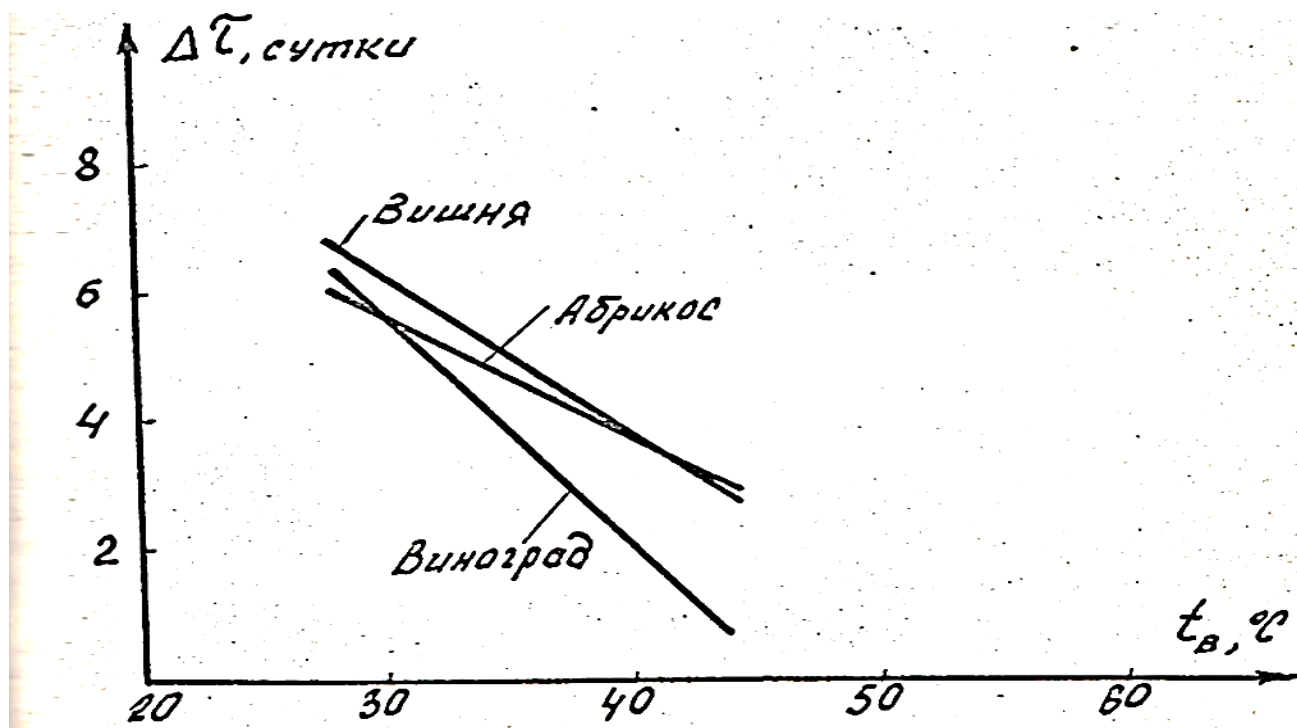


Рис.12. Продолжительность второго периода сушки в зависимости от температуры сушки.

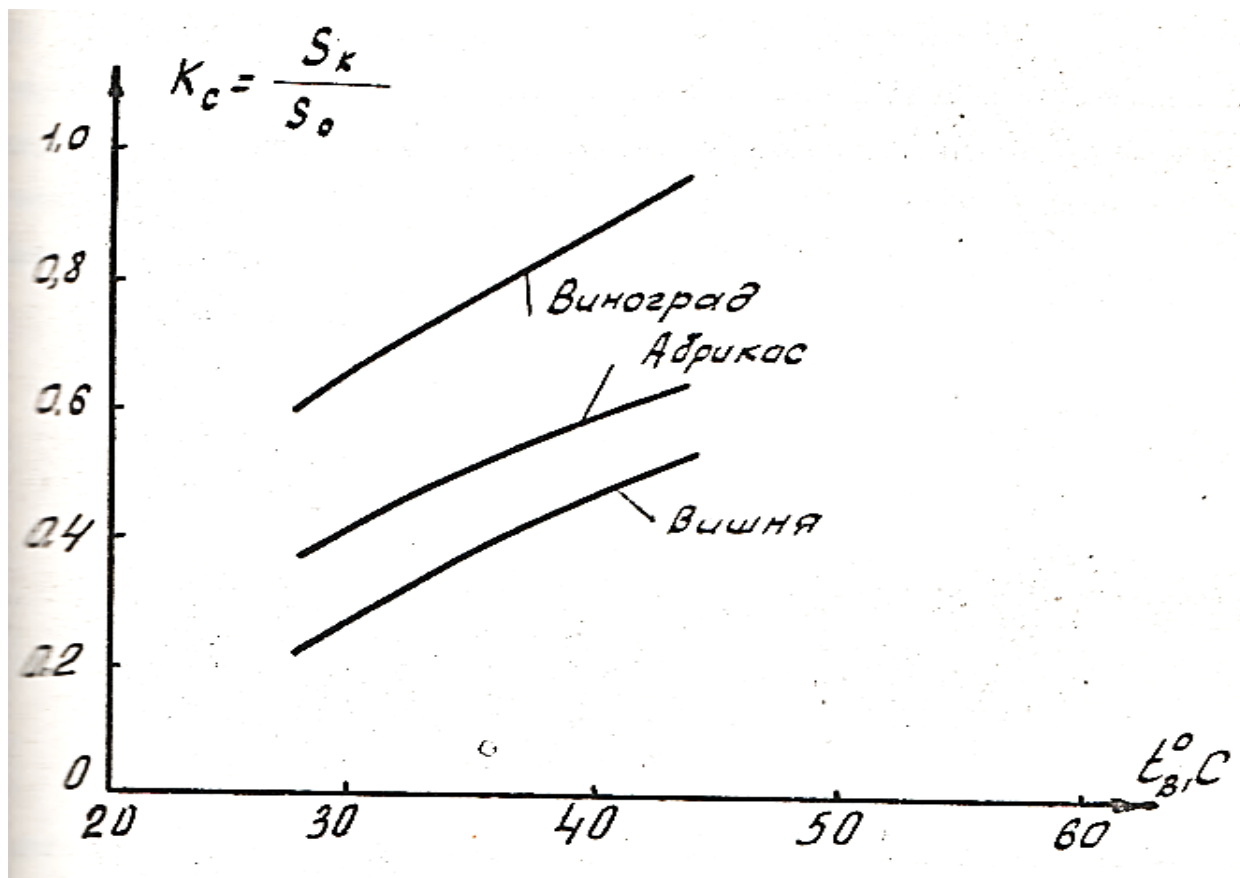


Рис.13. Коэффициенты усушки продуктов во втором периоде в зависимости от температуры сушки.

Значения коэффициентов определялись по формуле

$$K_y = \frac{N_2^1}{N_{02}^1} = \frac{S_{я2}}{S_{я0}} \quad (1.40)$$

Из полученных данных следует общая закономерность-уменьшение усушки с ростом температуры. Это объясняется в основном сокращением продолжительности второго периода сушки с повышением температуры сушки. Аппроксимация данных позволяет выразить коэффициенты усушки от температуры сушки, или

для винограда кишмиш черный

$$K_y = 0,6 + 0,22 \cdot (t_8 - 28) \quad (1.41)$$

абрикоса

$$K_y = 0,37 + 0,0175 (t_b - 28) \quad (1.42)$$

вишни

$$K_y = 0,233 + 0,0192 \cdot (t_b - 28) \quad (1.43)$$

Из рис.20 и вражений для K_y можно выдить ,что коэффициенты наклона кривих с погреностью не превыщающей $\pm 10\%$ можно принять одиноковым и равным 0,01957.

В целом по резултатом исследований второго этапа сушки можно сделать следующие вывода: абсалютая скорость сушки продукта во втором периоде постоянно и равно ее значению в первом периоде,. одноко вследствие уменьшение поверхности продукта относительная и эффективная скорости сушки будут уменьшается. Продолжительность сушки продукта во втором периоде существенно зависит от температуры сушки и уже при $t_b > 45^\circ\text{C}$ $\Delta \tau_2$ меньше суток.

1.1.4. Сушка плодов и винограда в третьем периоде

Из анализа экспременентальных данных следует, что для процесса сушки рассмотренных плодов и винограда имеет место третий проит сушки, или второй этап второго проиода сушки. В общем случае этот период характерен для материалов , которые проявляют гигроскопический свойства. В соответсвествии с изотермами сорбции и десорбции начало третеого переида соответствует точке, в который влажность материала начинает становится меньше максимальной гигроскопической влажности ω_m при относительной влажности воздуха равной 100%. Отсюда следует, что из полученных кривых мы можем, в первом приближении, определять максимальную гигроскопическую относительную влажность ω_m , или влагосодержание U_m рассмотренных продуктов при влажностях воздуха,

имевших место при сушке на открытом воздухе и в камере. Результаты обработки полученных кривых сушки представлены в таб 10.

Таблица 10

Максимальные гигроскопические влажности ω_{max}^H влагосодержание U_m плодов и винограда в начале третьего периода сушки

Продукт!	Режим !	\ddot{U}_m !	$\ddot{U}_m, \%$!	$\omega_m, \%$!!	$\ddot{U}_m, \%$! [21]
Виноград	Воздух	0,1	38	27	
	Камера	0,85	94	48	
Абрикос	Воздух	0,05	30	23	41
	Камера	0,08	48	32	
—					
Вишня	Воздух	0,07	40	29	48
	Камера	0,08	46	31	

В табл.10 по данным [8] также, для сравнения, приведены имеющиеся данные по максимальному влагосодержанию абрикоса и вишни при относительной влажности воздуха 80...90% и ее температуре 20-24°C. Сравнение полученных данных показывает, что имевшее место в опыте влагосодержание продуктов в начале третьего периода на воздухе, учитывая, что влажность воздуха при сушке была меньше 70%, достаточно хорошо совпадает с данным, приведенными в [8].

В то же время видно, что влагосодержание в начале третьего периода при сушке в камере существенно отличаются от этих параметров при сушке на воздухе, особенно для винограда. Т.е. начала третьего периода начинается на воздухе и в камере при существенно отличных влагосодержаниях продукта. Это может быть обусловлено следующими факторами – влажностью сушильного агента и скоростью сушки продукта (температурой сушки и свойствами продукта). Анализ влажностного режима показывает, что среднее влагосодержание сушильного агента при сушке на воздухе и в камере принципиально не отличаются. Более важным параметром при сушке одинаковых продуктов влияющим на протекание процесса является температура сушильного агента. Этот фактор, как показывают исследования процесса сушки в первом и во втором периодах приводит и к качественному изменению процесса сушки продукта – изменяется характер распределения влажности в материале, т.е. температура сушки является параметром, который не просто изменяет скорость сушки, но может привести и к изменению одного из качественных характеристик продукта (усадка, внешний вид). Этот результат получен нами косвенно и требует специальных исследований. Однако мы считаем, что существенные отличия во влагосодержании продуктов в критических точках у начала второго и третьего переводов, а также в общем, заметная разница во внешнем виде продукта при сушке в камере и на открытом воздухе подтверждают сделанный выше вывод. И эти различия как видно из данных табл. 10. усиливаются для абрикоса и винограда, т.е. для продуктов, в которых интенсивность сушки мала сама по себе из-за большого содержания сахара и наличие плотной кожицы. Так для абрикоса при сушке на открытом воздухе начало третьего периода наступает при влагосодержании равно 48%. Для винограда эти различия еще более существенны соответственно 38% и 94%. Полученный результат говорит о том, что если мы хотим сохранить внешний вид продукта (например

абрикос, виноград), при сушке в камере, таким же как при сушке на открытом воздухе, то мы должны ограничивать температуру меньше сушильного агента значительно меньшими пределами до 50°C , которые меньше пределов рекомендуемых в литературе [7,8]-до $65-70^{\circ}\text{C}$.е. ограниченными температурами, когда начинаются процессы каремилизации.

Полученные данные позволяют, в общем, не только характеризовать особенности сушки рассмотренных продуктов, но также определять требования к режиму сушки в третий период и в первую очередь к температуре сушильного агента и влагосодержанию продукта.

На рис. 14 приведена зависимость влагосодержание продуктов в начале третьего периода от температуры воздуха при сушке. Как видно из рис.14 для рассматриваемых продуктов кроме винограда имеет место довольно слабая зависимость максимального равновесного влагосодержания от температуры. Одна из причин этого в том, что эти продукты (абрикос, вишня) к концу второго периода уже имели массы близкие к окончанию сушки. Отметим, что как было указано выше, значения влагосодержания в начале третьего периода в большой степени зависят от режимов сушки в первом и втором периоде, т. е она определяется предисторией сушки и в большей степени этими периодами сушки и характеризуется.

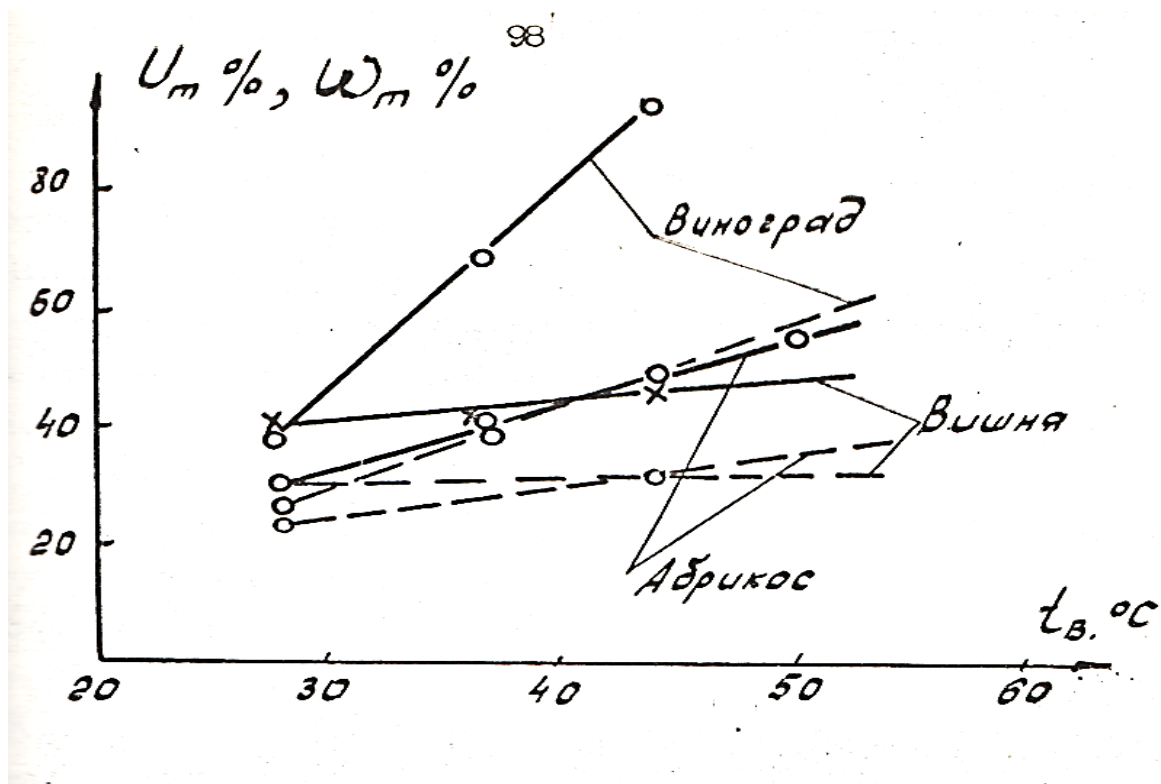


Рис.14 Зависимость максимального равновесного U_m (— —) и влажности

ω_m

(-) от температуры сушки.

Рассмотрим теперь вопрос об определении абсолютной скорости сушки в третьем периоде. Особенность задачи заключается в том, что если на первом этапе скорость сушки была постоянно, в на втором в основном записела только от изменения площади поверхности, то в третьем периоде переменными является , как относительная скорость сушки, так и площадь поверхности продукта.

В таблице 12 приведены экспериментальные и расчетные ($S_{3н}$) характеристики продуктов в начале и в конце третьего периода сушки, где $m_{3н}$ и $m_{3к}$ — начальные и конечные массы плодов, $S_{3н}$, $S_{3к}$ -начальные и конечные в третем периоде площади поверхности $N^1_{3н}$ $N^1_{3к}$ /кг/ ч.шт — относительное скорости сушки;

K_s, K_N^1 — коэффициенты изменения площади и относительной скорости продуктов.

Характеристики плодов в начале и в конце
третьего периода сушки

Продукт	Режим	m_{3H} г	m_{3K} г	S_{3H} см ²	S_{3K} см ²	K_S	$N_{3H}^1 \cdot 10^5$ КГ/Ч.шм	$N_{3K}^1 \cdot 10^5$ КГ/Ч.ш м	K_{N^1}
Виноград	Воздух	0,622	0,548	4,42	0,06	1,44	0,27	0,183	1,47
	Камера	0,877	0,548	7,11	3,06	2,32	1,07	0,225	4,75
Абрикос	Воздух	3,67	3,55	6,26	6,46	0,97	2,1	0,825	2,54
	Камера	4,15	3,55	11,09	6,46	1,72	6,2	0,825	7,50
Вишня	Воздух	0,277	0,244	1,5	3,46	0,43	0,14	0,071	2,00
	Камера	0,288	0,244	3,45	3,46	0,997	0,43	0,071	6,05

Коэффициенты K_S и K_{N^1} определялись в виде :

$$K_S = \frac{S_{3H}}{S_{3K}} \quad (1.44)$$

$$K_{N^1} = \frac{N_{3H}^1}{N_{3K}^1} \quad (1.45)$$

Из определения коэффициентов следует, что они должны быть

1. Значения K_S меньше 1 для некоторых случаев связано с тем, что значения S_{3H} были определены в предположении, что абсолютная скорость сушки N_2 во втором периоде определяется только изменением N_2^1 . На самом деле, особенно при сушке на открытом воздухе, изменяется (уменьшается) также и N_2 - Поэтому в дальнейшем анализе при $K_S < 1$ его значение необходимо принять равным единице.

Во общем случае можно записать:

$$N_3 = \frac{N_3^1(\bar{U}, t)}{s_3(\bar{U}, t)} \quad (1.46)$$

где \bar{U} - t – относительное влагосодержание продукта и температура сушки.

Рассмотрим значения N_3 при сушке на воздухе и в камере в начале и в конце третьего периода. Значения N_3 , вычисленные на основании (1.46), по данным табл.11, представлены в таб.12.

Таблица 12

Абсолютные скорости сушки продуктов в начале и в конце третьего периода сушки

Продукт	Режим	$\bar{U}_{3Н}$	$\bar{U}_{3К}$	$\omega_{3Н}$	$\omega_{3К}$	$\frac{N_{3Н_{кг}} \cdot 10^3}{м^2 \cdot ч \cdot ШМ}$	$\frac{N_{3К_{кг}} \cdot 10^3}{м^2 \cdot ч \cdot ШМ}$
Виноград	Воздух	0,1	0,05	27,3	19,6	6,11	6,71
	Камера	0,25	0,044	48,4	17-18	15	7,35
Абрикос	Воздух	0,05	0,04	23,2	20	33,5	12,8
	Камера	0,08	0,04	32,4	20	55,9	12,8
Вишня	Воздух	0,07	0,04	28,6	19	4,04	2,05
	Камера	0,08	0,04	31,4	19	12,4	2,05

Анализ данных табл 12 и 11 показывает, что сушке на воздухе абсолютная скорость сушки в начале и в конце третьего периода при низких температурах будут изменяться в основном за счет уменьшения относительной скорости сушки, с ростом температуры, когда имеет место резкой падение N^1 в третьего периоде, уменьшение N компенсируется уменьшением площади поверхности продукта. Эта общая закономерность, в конкретных случаях имеет место некоторые отличия, связанные с тем, что для различных продуктов эта закономерность имеет место при других уровнях температуры.

Так, для винограда, даже на открытом воздухе, в третьего периоде еще идёт усадка продукта, а для вишни и при сушке в камере усушка практически закончивается уже к концу второго периода сушки. В целом можно сделать вывод о том, что при низких температурах сушки абсолютная скорость сушки практически постоянно в течение всех периодов сушки, при увеличении температуры сушки имеют место

существенные отличия - скорость сушки и в третьего периоде резко падает, а сушка идёт практически до окончания сушки.

Рассмотрим теперь вопрос о продолжительности сушки в третьего периоде. Времена начала и конца в третьего периоде сушки, полученные на основе экспериментальных исследований приведены в табл.13. Там же, даны значения влагосодержания и влажности материала в момент окончания сушки.

Таблица 13

Время τ начала и конца третьего периода сушки в зависимости от температуры сушки t_B

Продукт	Режим	U_K	$\omega_K, \%$	$t_B, ^\circ\text{C}$	τ_3^H сум	τ_3^K сум	$\Delta\tau$ сум
Виноград	Воздух	0,08	23,6	28	16,5	17,5	1
	Камера	0,044	17-18	44	4,8	7	2,2
Абрикос	Воздух	0,04	20	28	11,5	1	0,5
	Камера	0,04	20	44	6,8	9	2,2
Вишня	Воздух	0,04	19	28	12	14	2
	Камера	0,04	19	44	7,2	9,4	2,2

Из табл. 13 следует, что в конце третьего периоде продолжительность сушки $\Delta\tau$ на открытой площадке в целом меньше, чем при сушки в камере (при более высокой температуре). Эта закономерность отличается от тех, что мы имели в первом и на втором периодах, где с увеличением температуры сушки в отдельных периодах уменьшается. Это очевидно объясняется тем, что с увеличением температуры сушки продукт подходит с большой влажностью (см. рис. 14).

Аппроксимация данных по продолжительности сушки $\Delta\tau$ в третьем периоде от температуры сушки дает следующие зависимости винограда кишмиш чёрный.

$$\Delta\tau_3 = 1 + 0,075 \cdot (t - 28) \quad (1.47)$$

абрикос

$$\Delta\tau_3 = 0,5 + 0,108 \cdot (t - 28) \quad (1.48)$$

вишня $\Delta\tau_3 = 2 + 0,012 \cdot (t - 28) \quad (1.49)$

Получение аналогичных зависимостей для абсолютной скорости сушки в третьем периоде в общем случае не представляется возможным, т.к. в конце третьего периода она является функцией не только температуры сушки, но и площади поверхности продукта. В качестве первого приближения для скорости сушки в третьем периоде на основе проведенного выше анализа можно принять, что она равна полусумме ее значений в начале и в конце третьего периода, тогда для винограда кишмиш черный.

$$N_{cp} = [6 + 0,375 \cdot (t - 28)] \cdot 10^{-3} \cdot \left[\frac{\text{кг}}{\text{м}^2 \cdot \text{ч}} \right] \quad (1.50)$$

абрикоса

$$N_{cp} = [11 + 0,0,719 \cdot (t - 28)] \cdot 10^{-3} \cdot \left[\frac{\text{кг}}{\text{м}^2 \cdot \text{ч}} \right] \quad (1.51)$$

вишни

$$N_{cp} = [3 + 0,262 \cdot (t - 28)] \cdot 10^{-3} \cdot \left[\frac{\text{кг}}{\text{м}^2 \cdot \text{ч}} \right] \quad (1.52)$$

ВЫВОДЫ

Проделанной работы можно сделать следующие выводы:

Для условий низкотемпературной сушки определенные соотношения между количествами тепла идущими на нагрев материала и испарения воды из материала. Показано, что в зависимости от влажности воздуха

имеется достаточно широкая область минимальных температур нагрева продукта с которых начинается процесс сушки.

Проведены экспериментальные исследования процесса сушки различных продуктов в зависимости от температуры сушильного агента.

На основе проведенных исследований определены эмпирические зависимости для скорости и продолжительности сушки. Определены особенности сушки в различных периодах процесса сушки. В частности, для всех исследованных продуктов имеет место четкая граница между периодами сушки, показано, что с увеличением температуры сушки граница первого периода наступает при большей влажности, также получено, что абсолютная скорость сушки продуктов практически остается постоянной в течении всего процесса сушки. Полученные зависимости представлены в виде удобном для практического использования – даны как функции температуры сушильного агента.

ИСПОЛЬЗУЕМЫЕ ЛИТЕРАТУРЕ.

1. Гинзбург А.С. Сушка пищевых продуктов, Пише промздат, 1960.
2. Кавказов Ю.Л. Основы технологии сушки, Всесоюзное научно-техническое совещание по сушке, Профиздат, 1958.
3. Мирзаев М.М. Состояние и перспективы научных исследований по сушке и переработки плодово – виноградной продукции. В сб. Вопросы сушки и переработки плодово – виноградной продукции. Ташкент. Из-во МСХ УзССР, 1981, с.3-9.
4. В.П.Исаченко, В.А.Осипова, А.С.Сукомич, Теплопередача, М., «Энергия», 1975, ст. 94
5. Теплотехника и теплоэнергетика КН.2, Справочник, М., «Энергоавтомиздат», 1988, с. 203
6. М.А.Михеев, И.М.Михеева Основы теплопередачи. М., Энергия, 1973. с.250
7. М.П.Каминушкин Насосы и вентиляторы – М., Висшая школа, 1987, 176 с.
8. Г.К.Филоненко, М.А.Гришин, Я.М.Гольденберг, В.К.Коссек, Сушка пищевых растительных материалов, М., Пищевая промышленность, 1971 г.
9. Захидовч Р.А., Киргизбаев Д.А., Орлова Н.И., Нуриддинов Х.Н. «Комбинированная сушильная установка» Гелиотехника 1988, №4 с.60-64.
10. Захидовч Р.А., Киргизбаев Д.А., Нуриддинов Х.Н. «Мева ва узум куритишда кушма куёш куритгичидан фойдаланиш.» "Янги техника" 1990.№ 6. 6-7б.
- 11.<http://sushilki.ru/info29/html>
12. [www/google.ru](http://www.google.ru)
- 13.www/lambler.ru
- 14.www/ziyonet.uz

ОГЛАВЛЕНИЕ

	Введение
	Расчетно – экспериментальное исследование процесса сушки плодов и винограда
1.1.	Расчетно – экспериментальное исследование процесса сушки плодов и винограда
1.1.1.	Объемные и гидродинамические характеристики слоя продукта.
1.1.2.	Расчетно экспериментальные исследования процесса сушки плодов и винограда в первом периоде.
1.1.3.	Кинетика сушки плодов и винограда во втором периоде сушки
1.1.4.	Сушка плодов и винограда в третьем периоде
	Выводы
	Используемые литературе

*Бухарский институт управления природными ресурсами
национального исследовательского университета Ташкентского
института инженеров ирригации и механизации сельского хозяйства*

Редактор

М.Назаров

Корректор

Х.Жўраев

Технический редактор

Ш.Имомов

Подписано к печати 20.08. 2022. Формат 60х84 1/16

Офсетным способом. 3.5 усл- печ. л.

Тираж 100 экз